

TECHNICKÁ UNIVERZITA V LIBERCI
FAKULTA TEXTILNÍ

Studijní program: B3107 Textil

Studijní obor: Textilní materiály a zkušebnictví

**TAHOVÉ CHARAKTERISTIKY PLETENIN
S OBSAHEM ČEDIČOVÝCH VLÁKEN**

**The tensile characteristic of knit
with basalts fibers**

Jitka Kratochvílová

KTM - 585

Vedoucí bakalářské práce: Ing. Jana Salačová, Ph.D.

Konzultant bakalářské práce: Ing. Miroslava Maršálková, PhD.

Rozsah práce:

Počet stran textu... 61

Počet obrázků..... 37

Počet tabulek..... 15

Počet stran příloh . 21

Přílohou CD 1

P r o h l á š e n í

Byl(a) jsem seznámen(a) s tím, že na mou diplomovou práci se plně vztahuje zákon č. 121/2000 Sb., o právu autorském, zejména § 60 – školní dílo.

Beru na vědomí, že Technická univerzita v Liberci (TUL) nezasahuje do mých autorských práv užitím mé diplomové práce pro vnitřní potřebu TUL.

Užiji-li diplomovou práci nebo poskytnu-li licenci k jejímu využití, jsem si vědom povinnosti informovat o této skutečnosti TUL; v tomto případě má TUL právo ode mne požadovat úhradu nákladů, které vynaložila na vytvoření díla, až do jejich skutečné výše.

Diplomovou práci jsem vypracoval(a) samostatně s použitím uvedené literatury a na základě konzultací s vedoucím diplomové práce a konzultantem.

Datum 10. 5. 2011

Podpis

Poděkování

Ráda bych poděkovala vedoucí bakalářské práce Ing. Janě Salačové, Ph.D. za spolupráci při tvorbě rešeršní části i za cenné rady a pomoc při zpracovávání experimentální části. Také bych chtěla poděkovat Ing. Miroslavě Maršálkové, PhD. za konzultace a poskytnutí mnoha užitečných informací pro experimentální část této práce. Mé poděkování patří Ing. Jitce Sitteové za její pomoc při výrobě vzorků pletenin. Velký dík patří Ing. Pavle Munzarové za pomoc při korekturách a za její čas, který mi věnovala při zpracovávání celé práce. Nemohu opomenout ani přítele, který mi byl po celou dobu neocenitelnou oporou.

Abstrakt

Tato práce se zabývá základním rozborem pletenin s obsahem čedičových vláken a popisem jejich struktury. Určuje typ pleteniny, materiálové složení, hustotu provázání, rozteč řádků a sloupců, spletení, stupeň spletení, délku nitě v očku, plošnou a objemovou hmotnost, tloušťku a pórositost pletenin. Dále se zabývá testováním pevnosti v tahu. Pleteniny jsou vyrobeny z čedičových rovingů a z kombinace čedičových a kevlarových rovingů. Tyto textilie jsou používány jako výzvuže při výrobě kompozitů.

V rešeršní části jsou popsány základní pojmy týkající se plošných textilií a pletenin, jejich rozdělení, základních charakteristik, vlastností a jejich určování. Dále jsou zde uvedeny způsoby výroby a vlastnosti čedičových a kevlarových vláken. V poslední části jsou popsány mechanické vlastnosti – pevnost v tahu a její zkoušení. Všechny získané informace jsou potřebné ke konstrukci kompozitů, do kterých se zkoumané pleteniny využívají, a pro zlepšování jejich vlastností.

Experimentální část popisuje praktické provádění rozboretu jednotlivých vlastností textilií a zkoušení těchto vlastností. Vyhodnocení výsledků je jak grafické tak slovní.

Klíčová slova

pletenina, čedičová vlákna, kevlarová vlákna, hmotnost, tloušťka, pevnost

Abstract

This thesis is about basic analysis of knits with basalt fibers and described their structure. The work is determined type of knit, material composition, density of interlacing, lines and posts spacing, enlacement, scale of enlacement, length of yarn in link, flat and volumetric of weight, thickness and porosity of knits. Next analysis is testing of tensile strength. The knits are made from basalt roving and from combination of basalt and Kevlar roving. These textiles are used like reinforcement for composites.

Basic term of textiles and knits are described in search part, their distribution, basic characteristics, properties and their determination. Techniques of production are stated next and properties for basalt and Kevlar fibers. Mechanical properties are described in the last part of search – tensile strength and testing of tensile strength. All obtained information are needed for construction of composites, in which the knits are used for improving properties of composites.

Experimental part is describing practical analysis of singular properties of textiles and testing of these properties. Results are described graphically and verbally.

Key words

knit, basalt fibers, kevlar fibers, weight, thickness, strength,

Obsah

Poděkování.....	4
Abstrakt.....	5
Klíčová slova	5
Abstract.....	6
Key words	6
Obsah	7
Seznam použitých zkratek a symbolů.....	9
ÚVOD	11
1. REŠERŠNÍ ČÁST	12
1.1 Plošné textilie.....	12
1.1.1 Pletenina.....	12
1.1.1.1 Zátažné pleteniny	13
1.1.1.1.1 Základní vazby zátažných pletenin.....	13
1.1.1.2 Osnovní pleteniny	14
1.1.1.2.1 Základní vazby osnovních pletenin	14
1.1.2 Základní rozbor plošných textilií	15
1.1.2.1 Plošné textilie.....	15
1.1.2.1.1 Tloušťka plošné textilie	15
1.1.2.1.2 Plošná hmotnost textilie.....	15
1.1.2.1.3 Objemová měrná hmotnost.....	16
1.1.2.1.4 Materiálové složení.....	16
1.1.2.1.5 Pórovitost	16
1.1.2.1.5.1 Jednokomponentní textilie	16
1.1.2.1.5.2 Vícekomponentní textilie.....	17
1.1.2.2 Pletenina.....	17
1.1.2.2.1 Hustota provázání	17
1.1.2.2.2 Rozteč řádků a sloupků	18
1.1.2.2.3 Délka očka pleteniny	18
1.1.2.2.4 Koeficient hustoty	19
1.1.2.2.5 Spletení	20
1.1.2.2.6 Stupeň spletení	20
1.1.2.3 Textilní materiály.....	21
1.1.2.3.1 Čedičová vlákna.....	21
1.1.2.3.1.1 Výroba	22
1.1.2.3.1.2 Vlastnosti a použití	22
1.1.2.3.1.3 Bezpečnostní pravidla pro práci s čedičovými materiály	23
1.1.2.3.2 Kevlarová vlákna	24
1.1.2.3.2.1 Výroba	24
1.1.2.3.2.2 Vlastnosti a použití Kevlaru	25
1.1.2.3.2.3 Bezpečnostní pravidla pro práci s kevlarovými materiály.....	25
1.1.2.3.3 Souhrn vlastností čedičových a kevlarových vláken	26
1.1.2.4 Zkoušení mechanických vlastností plošných textilií	27
1.1.2.4.1 Pevnost plošných textilií v tahu	27
1.1.2.4.1.1 Absolutní pevnost v tahu	28
1.1.2.4.1.2 Relativní pevnost v tahu	28
1.1.2.4.1.3 Absolutní deformace	29
1.1.2.4.1.4 Relativní deformace - tažnost	29
1.1.2.4.1.5 Modul pružnosti	29

1.4.1.1.6 Deformační práce.....	30
2. EXPERIMENTÁLNÍ ČÁST	31
2.1 Přístrojové a programové vybavení	32
2.2 Základní rozbor textilie.....	33
2.2.1 Struktura textilie	33
2.2.2 Materiálové složení.....	33
2.2.3 Hustota provázání, rozteč řádků a sloupců.....	34
2.2.4 Spletení, stupeň spletení	34
2.2.5 Délka nitě v očku, koeficient hustoty	34
2.3 Výroba vzorků	35
2.4 Základní vlastnosti pleteniny	37
2.4.1 Tloušťka.....	37
2.4.2 Hmotnost.....	39
2.4.3 Pórovitost.....	42
2.5 Pevnost v tahu.....	44
2.5.1 Pevnost v tahu	46
2.5.2 Tažnost.....	48
2.5.3 Modul pružnosti	50
3. Diskuze výsledků	53
4. ZÁVĚR	56
Literatura.....	57
Seznam obrázků.....	58
Seznam tabulek	59
Seznam příloh	60
A - Tabulky	60
B - Obrázky - grafy	60

Seznam použitých zkratek a symbolů

ČSN česká technická norma - všeobecně závazné národní normy

EN evropská norma

ISO mezinárodní organizace pro normalizaci

TUL Technická univerzita v Liberci

Obr. obrázek

Tab. tabulka

např. například

atd. a tak dále

apod. a podobně

ρ_s plošná hmotnost [$\text{kg} \cdot \text{m}^{-2}$]

m hmotnost vzorku [kg]

S plocha vzorku [m^2]

l délka vzorku [m]

b šířka vzorku [m]

m hmotnost plošné textilie [kg]

V objem plošné textilie [m^3]

S plocha vzorku [m^2]

h tloušťka textilie [m]

ρ_{vlK} hustota klimatizovaných vláken [$\text{kg} \cdot \text{m}^{-3}$] (tabelované hodnoty)

ρ_V objemová měrná hmotnost textilie [$\text{kg} \cdot \text{m}^{-3}$]

ρ_{sm} hustota směsového materiálu [$\text{kg} \cdot \text{m}^{-3}$]

ρ_{vlKj} hustota j-té komponenty klimatizovaných vláken [$\text{kg} \cdot \text{m}^{-3}$]

v_j obsah j-té komponenty ve vlákenné směsi [%]

H_c hustota pleteniny [ok / m^2]

H_s hustota sloupků [ok / m]

H_r hustota řádků [ok / m]

p pórovitost [%]

l_{OJ} délky jehelního oblouku [m]

l_S délky stěny očka [m]

l_O délka očka pleteniny [m]

d průměr příze [m]

- T jemnost příze [Tex]
 μ zaplnění příze [-]
 ε_P spletení pleteniny [-]
 K_p stupeň spletení pletení
 ρ hustota příze [$\text{kg} \cdot \text{m}^{-3}$]
 $l_{(j-1)}$ délka nitě, která vstupuje do výrobního procesu [m]
 l_j délka nitě ve textilii [m]
 l_{OP} délky platinového obloučku [m]
 w rozteč řádků [m]
 c rozteč sloupců [m]
 δ koeficient hustoty pleteniny [-]
 F absolutní pevnost [N]
 σ relativní pevnost [Pa]
 f relativní pevnost [$\text{N} \cdot \text{tex}^{-1}$]
 l_0 upínací délka [m]
 Δl absolutní deformace [m]
 ε deformace [%]

ÚVOD

Textilní materiály provázejí člověka od počátku jeho vývoje a to ve formě oděvů. Počátky lze nalézt v pravěku, kdy člověk měl potřebu chránit své tělo před nepříznivými klimatickými jevy. Nejprve bylo toto realizováno pomocí kožešin z ulovené zvěře. Postupně člověk přišel na způsob jak z chlupů kožešin vyrobit textilii. Se zdokonalováním techniky výroby textilií přichází i objevování nových výchozích surovin a jejich zpracování. Od srstí zvířat se propracoval ke zpracování rostlinných materiálů jako je bavlna či len. Vyspělejší civilizace dokázala zpracovávat hedvábí. Postupem času ztrácely textilie čistě ochrannou funkci a přidávaly se užitné a estetické funkce. Textilie již nesloužily pouze k odívání, ale také k výrobě užitných a ozdobných předmětů. S tímto vývojem souvisí i vývoj zpracování vlákenných surovin. S rozšiřujícím se okruhem použití se zvyšovaly i nároky kladené na textilní materiály.

Se zvyšující se spotřebou textilních materiálů vzniká potřeba nalezení nových zdrojů. Do popředí se dostává práce chemiků a vývoj chemických vláken. Ve spolupráci s fyziky se objevují polymerní látky z přírodních zdrojů (např. viskóza, acetátová vlákna) nebo syntetických zdrojů (např. polyamid, polyester, polypropylen). Vyvíjí se také výroba vláken z nepolymerních, anorganických materiálů (skleněná, kovová, čedičová vlákna). Právě poslední zmiňované materiály se uplatňují v technických oblastech, které jsou budoucností textilního průmyslu v celosvětovém měřítku.

Při výrobě technických textilií vzniká v posledních letech zájem o čedičová vlákna a to hlavně díky možnosti jejich použití v širokém teplotním rozmezí. Samotná čedičová vlákna jsou sice křehká, ale při zpracování do textilie vzniká pevná struktura. Často se tyto textile používají jako výztuže do kompozitů. A právě kompozitní materiály procházejí v dnešní době velkým vývojem a jsou předmětem mnohých výzkumů.

Tato práce popisuje vlastnosti a strukturu pletenin s obsahem čedičových vláken. Dále se zabývá mechanickými vlastnostmi a to pevností v tahu. Znalost vlastností a struktury této pleteniny je nezbytná z hlediska jejich dalšího využití jako výztuží do kompozitů a pro zlepšování jejich vlastností.

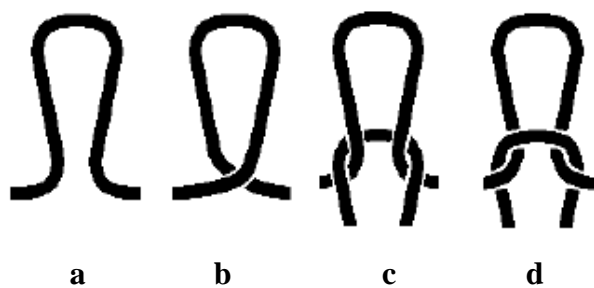
1. REŠERŠNÍ ČÁST

1.1 PLOŠNÉ TEXTILIE

Textilie jsou objekty tvořené provázáním přízí. Plošná textilie, je textilie, která má řádově menší tloušťku nežli šířku a délku. Může být vyrobena technologií tkání, pletení nebo jako netkaná textilie. Některé z netkaných textilií se již mohou řadit do prostorových textilií, díky své větší tloušťce.

1.1.1 Pletenina

Pletenina je plošná textilie vznikající propletením jedné nebo více soustav nití. Podle způsobu provázání soustavy nití se rozdělují na osnovní a zátažné. Pletenina se skládá z oček, které vznikají provléknutím kliček. Jestliže se klička protáhne předcházejícím očkem zezadu dopředu, vznikne lícní očko, obdobě pak vzniká rubní očko. V pletenině rozeznáváme sloupky což jsou vzájemně provázaná očka uspořádána nad sebou a řádky, které tvoří očka ležící vedle sebe. Pleteniny vznikají na pletacích strojích, které se dají rozdělit z mnoha hledisek, například podle vznikajícího druhu pleteniny (osnovní, zátažné), podle použitých jehel (jazýčkové, háčkové, duté), podle počtu lůžek ve kterých jsou uloženy jehly (jedno a dvoulůžkové), podle tvaru lůžek (ploché a okrouhlé), dle pracovních ústrojí (platiny, zámky, lisy) [1].



Obr. 1 Základní strukturální prvky pletenin [1]

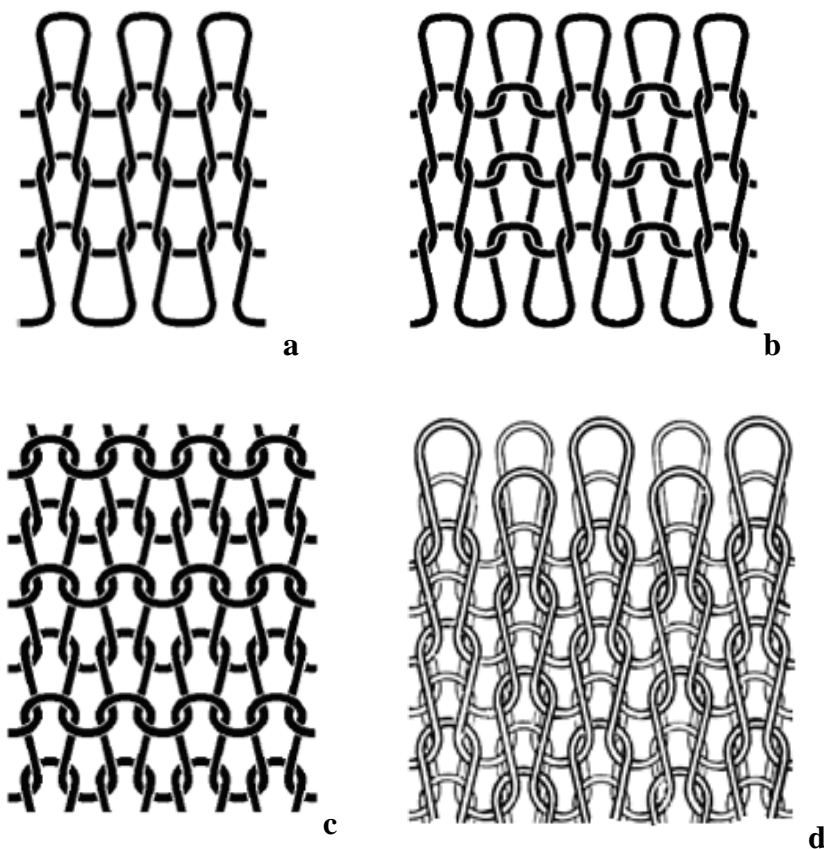
a) otevřená klička b) uzavřená klička, c) lícní očko, d) rubní očko

1.1.1.1 Zátažné pleteniny

Základní zátažné pleteniny vznikají z jedné nitě. Nit je vedena ve směru řádků. Kromě základních vazeb se v nich uplatňuje mnoho vzorovacích prvků, například chytové kličky, podložené kličky, chybějící očka, převěšování oček, doplňkové nitě.

1.1.1.1.1 Základní vazby zátažných pletenin

- a) jednolícní – má nejmenší střídu (jediné očko)
- b) oboulícní – ve vazbě se pravidelně střídají lícní a rubní sloupky
- c) obourubní – střídání lícních a rubních řádků
- d) interlokové – vzniká prostoupením dvou oboulícních pletenin



Obr. 2 Základní vazby zátažných pletenin [1, 2]

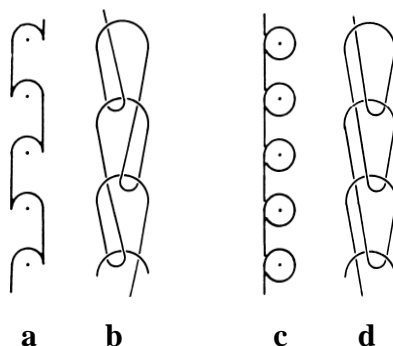
a) jednolícní, b) oboulícní, c) obourubní, d) interloková

1.1.1.2 Osnovní pleteniny

Osnovní pletenina vzniká ze soustavy nití, která by se dala přirovnat k osnově při tkaní. Vedení nití je mnohem komplikovanější než u zátažných pletenin a to zvyšuje variabilitu vlastností těchto pletenin. Nitě jsou vedeny ve směru sloupků a postupně přecházejí z prvního řádku do druhého, třetího atd.. Zároveň mohou vytvářet různé vazební prvky v různých sloupcích pleteniny [1]. U osnovních pletenin je stejný typ vzorovacích prvků jako u zátažných pletenin rozšířený o možnost otevřeného či uzavřeného kladení, kladení pod jehlami, stejnosměrné nebo protisměrné kladení.

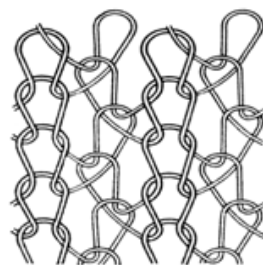
1.1.1.2.1 Základní vazby osnovních pletenin

- jednolícní – řetízek, trikot, sukno, satén, atlas
- oboulícní



Obr. 3 Jednolícní pletenina s přímým kladením- řetízek [2]

a) kladení na jehly, b) otevřený řetízek, c) kladení na jehly, d) uzavřený řetízek



Obr. 4 Osnovní oboulícní pletenina [2]

1.2 ZÁKLADNÍ ROZBOR PLOŠNÝCH TEXTILIÍ

Struktura textilie závisí především na použité vazbě. Plošná textilie je definována tloušťkou textilie, plošnou hmotností, objemovou hmotností a pórovitostí. Pro pleteniny se stanovuje hustota provázání, rozteč řádků a sloupků a délka nitě v očku. Dále se určuje spletení z této charakteristiky vychází stupeň spletení.

1.2.1 Plošné textilie

1.2.1.1 Tloušťka plošné textilie

Můžeme ji definovat jako kolmou vzdálenost mezi lícem a rubem textilie. K měření tloušťky textilií se používají tloušťkoměry. Principem je měření vzdálenosti mezi dvěma čelistmi, mezi kterými je umístěna textilie [3]. Protože je textilie materiál snadno deformovatelný (stlačitelný), je měření tloušťky textilie stanoveno normou ČSN EN ISO 5084. Tato norma stanovuje plochu čelistí, přítlač a délku měření pro různé typy textilií.

1.2.1.2 Plošná hmotnost textilie

Plošnou hmotnost vypočteme jako podíl hmotnosti vzorku a plochy vzorku.

$$\rho_s = \frac{m}{S} = \frac{m}{l b} \quad [\text{kg.m}^{-2}] \quad (1)$$

ρ_s - plošná hmotnost [kg.m^{-2}]

m - hmotnost vzorku [kg]

S - plocha vzorku [m^2]

l - délka vzorku [m]

b - šířka vzorku [m]

1.2.1.3 Objemová měrná hmotnost

Objemová měrná hmotnost je definována jako hmotnost 1 m^3 plošné textilie. Podle fyzikální definice je takto označena hustota $\rho [\text{kg.m}^{-3}]$, protože je tento pojem zároveň používán i v jiných souvislostech (například u pletenin) byl zaveden pojem objemová měrná hmotnost $\rho_V [\text{kg.m}^{-3}]$ [3]. Tato veličina je dána vztahem (2).

$$\rho_V = \frac{m}{V} = \frac{m}{S h} = \frac{\rho_s}{h} \quad [\text{kg.m}^{-3}] \quad (2)$$

m - hmotnost plošné textilie [kg]

V - objem plošné textilie [m^3]

S - plocha vzorku [m^2]

h - tloušťka textilie [m]

1.2.1.4 Materiálové složení

Zjištění materiálového složení se provádí z rozvlákněných přízí osnovy i útku, přípravou preparátu a identifikací pomocí optické zkoušky. Další možností zjištění složení je např. spalovací zkouška nebo identifikace dle teploty měknutí materiálu.

1.2.1.5 Pórovitost

Pórovitost p lze popsat jako obsah pórů naplněných vzduchem textilie. Vzorec pro výpočet se liší dle materiálového složení, tedy množství použitých materiálů (komponent) v přízi, ze kterých je textilie vyrobena.

1.2.1.5.1 Jednokomponentní textilie

$$p = \frac{\rho_{vlK} - \rho_V}{\rho_{vlK}} \cdot 10^2 \quad [\%] \quad (3)$$

ρ_{vlK} - hustota klimatizovaných vláken [kg.m^{-3}] (tabelované hodnoty)

ρ_V - objemová měrná hmotnost textilie [kg.m^{-3}]

1.2.1.5.2 Vícekomponentní textilie

U vícekomponentních materiálů je nejprve potřeba vypočítat hustotu směsového materiálu dle vzorce (4).

$$\rho_{sm} = \frac{1}{10^2} \sum_{j=1}^k \rho_{vlKj} \cdot v_j \quad [kg \cdot m^{-3}] \quad (4)$$

ρ_{sm} - hustota směsi [$kg \cdot m^{-3}$]

ρ_{vlKj} - hustota j-té komponenty klimatizovaných vláken [$kg \cdot m^{-3}$]

v_j - obsah j-té komponenty ve vlákenné směsi [%]

Poté lze vypočítat pórositost dle upraveného vzorce (3), kde je hustota klimatizovaných vláken nahrazena hustotou směsového materiálu.

$$p = \frac{\rho_{sm} - \rho_v}{\rho_{sm}} \cdot 10^2 \quad [\%] \quad (5)$$

ρ_{sm} - hustota směsového materiálu [$kg \cdot m^{-3}$]

ρ_v - objemová měrná hmotnost textilie [$kg \cdot m^{-3}$]

1.2.2 Pletenina

1.2.2.1 Hustota provázání

Hustota provázání pleteniny H_c se vypočte jako součin hustoty sloupků a rádku. Tyto hodnoty odpovídají počtu ok v příslušném směru na 100 mm pleteniny.

$$H_c = H_s \cdot H_r \quad [ok / m^2] \quad (6)$$

H_s - hustota sloupků [ok / m]

H_r - hustota rádků [ok / m]

1.2.2.2 Rozteč řádků a sloupků

Rozteč řádků c vyjadřuje výšku jednotlivých řádků a lze ji definovat jako převrácenou hodnotu hustoty řádků H_r . Analogicky rozteč sloupků w udává šířku jednotlivých sloupků a lze ji definovat jako převrácenou hodnotu hustoty sloupců H_s .

$$w = \frac{1}{H_s} \quad [m] \quad (7)$$

$$c = \frac{1}{H_r} \quad [m] \quad (8)$$

1.2.2.3 Délka očka pleteniny

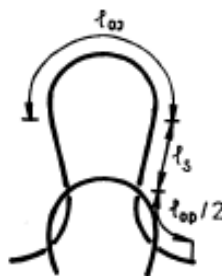
Přibližné stanovení lze provést vypárnáním 10 oček pleteniny a změřením délky vypárané nitě s následným přepočtem na délku jednoho očka. Pro přesnější zjištění délky očka l_o se v praxi většinou využívá projekce, ale můžeme použít také např. obrazovou analýzu.

$$l_o = l_{OJ} + 2 \cdot l_s + 2 \cdot \left(\frac{1}{2} l_{OP} \right) \quad [m] \quad (9)$$

l_{OJ} - délky jehelního oblouku [m]

l_s - délky stěny očka [m]

l_{OP} - délky platinového obloučku [m]



Obr. 5 Délka očka pleteniny. [3]

Délku nitě v očku lze také přibližně stanovit dle vztahu (10), který vychází z geometrického modelu očka pleteniny tzv. Dalidovičova modelu. Tento model předpokládá neměnný průměr nitě, stěny oček jsou definovány jako úsečky a jehelní a platinové obloučky jsou nahrazeny půlkružnicemi. Tento vztah lze použít pro průměrně hustou pleteninu, ve které se sousední nitě dotýkají pouze ve vazných bodech vnitřními plochami platinových obloučků [1].

$$l_o = \frac{\pi}{2} w + \pi d + 2 c \quad [m] \quad (10)$$

w – rozteč rádků [m]

c – rozteč sloupků [m]

d – průměr nitě [m]

1.2.2.4 Koeficient hustoty

Koeficient hustoty pleteniny lze vypočít ze vztahu (11).

$$\delta = \frac{l_o}{d} \quad [-] \quad (11)$$

l_o – délka očka pleteniny [m]

d – průměr příze [m]

Pro výpočet tohoto koeficientu je potřeba znát průměr nitě *d*, který můžeme vypočít dle vzorce (12).

$$d = \sqrt{\frac{4 \cdot T}{\pi \cdot \mu \cdot \rho}} \quad [m] \quad (12)$$

T – jemnost příze [Tex]

μ – zaplnění příze [-]

ρ – hustota příze [kg.m⁻³]

1.2.2.5 Spletení

Vyjadřuje relativní zkrácení nitě pletením [3]. Spletení je zapříčiněno zvlněním nití díky jejich vzájemnému provázání. Toto zvlnění zkracuje původní délku nitě v textilii. Principem stanovení je vypárnání nitě ze 100 mm textilie a změření její délky.

$$\varepsilon_p = \frac{l_{(j-1)} - l_j}{l_{(j-1)}} \cdot 10^2 \quad [\%] \quad (13)$$

$l_{(j-1)}$ – délka nitě, která vstupuje do výrobního procesu [m]

l_j – délka nitě ve textilii [m]

1.2.2.6 Stupeň spletení

Ze spletení vychází stupeň spletení. Tato hodnota je bezrozměrná, je vyjádřena jako poměr délek.

$$K_p = \frac{l_j}{l_{(j-1)}} \quad [-] \quad (14)$$

$l_{(j-1)}$ – délka nitě, která vstupuje do výrobního procesu [m]

l_j – délka nitě ve tkanině [m]

1.3 TEXTILNÍ MATERIÁLY

1.3.1 Čedičová vlákna

Čedičová vlákna jsou vlákna nepolymerní (anorganická) minerální vlákna. Čedič je v podstatě ztuhlá láva některých sopek, podle oblasti původu se liší jeho kvalita. Charakteristickou vlastností čediče je tvorba pěti hranných až šesti hranných pravidelných sloupů viz Obr. 6.



Obr. 6 Čedičové „varhany“ u Kamenického Šenova [4]

Při rychlém chlazení lávy vzniká sklovitá, přibližně amorfnní struktura (nekryystalická, nemající pravidelnou strukturu), pomalým chlazením vzniká krystalická struktura směsi minerálů [5].

Hlavními složkami čediče jsou:

- oxid křemičitý SiO_2 (optimální rozmezí 43,3–47 %)
- oxid hlinitý Al_2O_3 (optimální rozmezí 11–13 %)
- oxid vápenatý CaO (optimální rozmezí 10–12 %)
- oxid manganatý MgO (optimální rozmezí 8–11 %) [5]

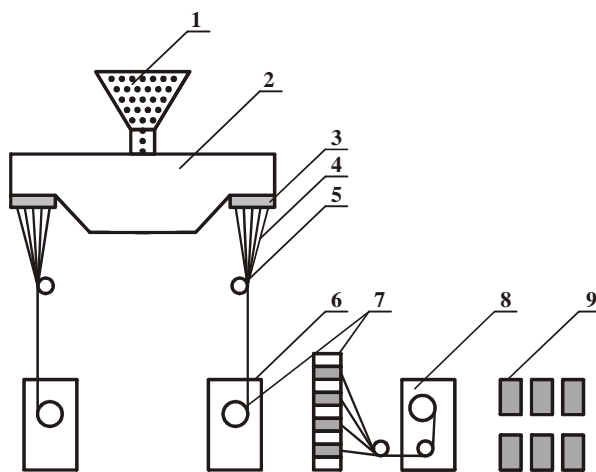
Podle obsahu oxidu křemičitého SiO_2 se čediče rozdělují do tří skupin:

- alkalické čediče s obsahem SiO_2 do 42%
- slabě kyselé čediče s obsahem SiO_2 43 - 46%
- kyselé čediče s obsahem SiO_2 nad 46% [6]

1.3.1.1 Výroba

K výrobě vláken se používají kyselé čediče, které obsahují nejoptimálnější poměr jednotlivých složek. Vlákna se vyrábějí tavným zvlákňováním při teplotách 1500–1700 °C a dále mohou být dloužena při teplotách kolem 1300°C [5].

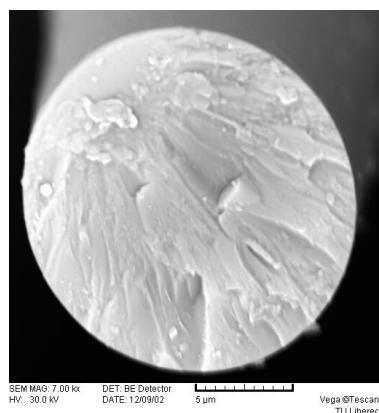
Čedičový materiál je rozdrcen na části o velikosti 5 ~ 20 mm a umístěn v zásobníku (1) odkud je dávkován do tavící pece (2) kde je roztaven a prochází zvlákňovacími otvory (3). Vznikají tak vlákna o průměru 9 – 15 µm (4), která procházejí přes maznici (5) a jsou navíjena v navíjecím zařízení (6) na cívky (7), z těchto cívek mohou být vlákna dále převýjena (8) a ukládána na cívečnici (9).



Obr. 7 Schéma výroby čedičových vláken [8]

1.3.1.2 Vlastnosti a použití

Čedičová vlákna jsou stabilnější v silně alkalickém prostředí než např. skleněná vlákna, ale stabilita v kyselém prostředí je nižší. Čedičové výrobky se mohou použít od velmi nízkých teplot (kolem -200 °C) až do poměrně vysokých teplot 700–800 °C. Při teplotách nad 300°C dochází ke snížení pevnosti díky vzniku krystalické struktury [7]. Pokud vlákno praskne, je na příčném řezu patrný křehký lom (viz Obr. 8) způsobený heterogenitami struktury (křehký lom je iniciován trhlinou nebo defektem, kde se koncentruje napětí, to má za následek růst trhliny a vznik dalších trhlin způsobujících lom vlákna).



Obr. 8 Lomová plocha čedičového vlákna

Čedičová vlákna a textilie z nich zhotovených se využívá ve všech oblastech, kde se běžně dosud používají skleněná a dříve používala azbestová vlákna. Využívají se ve formě tkanin jako výztuže do kompozitů. Ve stavebnictví se používají ve formě síťovin do omítkových systémů. Díky svým tepelným vlastnostem nachází čedič využití v izolacích, kde je vyžadována odolnost proti velkým teplotním změnám. Čedičová vlákna se také používají při výrobě interiérových nehořlavých textilií.

1.3.1.3 Bezpečnostní pravidla pro práci s čedičovými materiály

Všeobecně, při možnosti uvolňování většího množství drobných částic, je doporučováno použít ochranný oděv s dlouhými rukávy a respirační roušky.

Podle dosavadních poznatků je čedičový materiál při běžném styku zdravotně nezávadný. Čedič je chemicky stálý a je určený pro technické použití. Ze základního materiálu se samovolně neuvolňují žádné škodlivé látky.

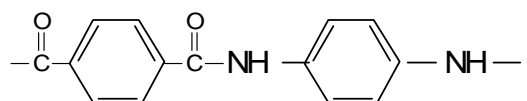
Při manipulaci je nutno dodržovat základní hygienické předpisy. Čedičová vlákna vyráběná ve formě nekonečných vláken nejsou zdraví škodlivá. Při poškození vláken může dojít k mechanickému podráždění pokožky, očí i horních cest dýchacích. Podrážděná pokožka se doporučuje omýt studenou vodou a ošetřit běžnými krémy.

Čedičová vlákna ve formě nekonečných vláken mají průměr 9-12 μm , tento průměr se již, ani při poškození vlákna, nezměnuje. Obecně se uvádí, že vlákna se stávají nebezpečnými, když jsou vdechována hluboko do plic, a to se děje u vláken s menším průměrem než 3 μm [10].

1.3.2 Kevlarová vlákna

Kevlarová vlákna se řadí mezi polymerní vlákna. Kevlar je nejznámější aramidové (aromatické polyamidy) vlákno firmy DuPont. Využití nachází v oblastech, kde je požadována mimořádně vysoká pevnost a tepelná odolnost.

Molekulární vzorec Kevlaru je $[-CO-C_6H_4-CO-NH-C_6H_4-NH-]_n$, poly-para-phenylentereftalamid (PPD-T) [7].

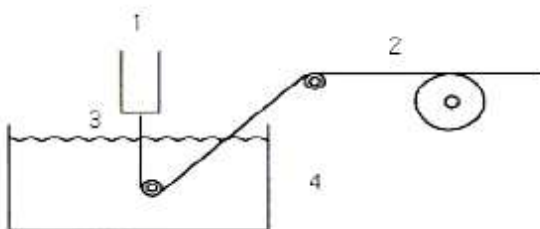


Obr. 9 Strukturální vzorec Kevlaru [7]

1.3.2.1 Výroba

Velká část aromatických polymerů degraduje již při teplotě rozkladu T_r před dosažením teploty tání T_m , takže vlákna lze zvlákňovat pouze z roztoků, obsahujících silná organická rozpouštědla nebo koncentrované anorganické kyseliny.

Kevlarová vlákna se vyrábějí zvlákňováním z roztoku metodou „dry-jet-wet“ viz Obr. 10. Zvlákňuje nejdříve do vzduchu (díky cca 1cm mezeře mezi tryskou a lázní), kde dochází k průtahu a poté vlákno pokračuje do koagulační lázně. Vlákna se vyrábějí z 10–20 % roztoku polymeru v kyselině sírové H_2SO_4 , neobsahující vodu, zahřáté na 80°C. Při výrobě se musí dbát na čistotu zvlákňovací lázně obsahující studenou vodu [5, 7].



Obr. 10 Schéma výroby kevlarových vláken (metoda „dry-jet-wet“) [7]

(1) zásobník zvlákňovacího roztoku, (2) dloužení, (3) vzduchová mezera, (4) srážecí vana

1.3.2.2 Vlastnosti a použití Kevlaru

Vlastnosti kevlarových vláken lze měnit různými podmínkami při dloužení a tepelném zpracování. Vlákna jsou obtížně barvitelná, barvit je lze vybranými kationtovými barvivy, zlepšení lze pozorovat při předpracování v kapalném amoniaku NH_3 .

V kombinaci s Nomexem se využívá v ochranných pomůckách pro hasiče. Používá se při výrobě rukavic a ochranných oděvů, např. pro práci s ostrými předměty. Schopnost plasticky se deformovat při působení síly kolmo na osu vlákna se zlepšuje odolnost vůči střelám a střepinám, což je využíváno při výrobě neprůstřelných vest. Nahrazuje se jím azbest. Využití nachází v leteckém průmyslu, kde se používá např. v interiérech nebo při výrobě některých částí pláště letadel. Díky vysoké pevnosti se z něj vyrábějí lana a popruhy.

K nevýhodám patří malá odolnost proti vlhkmu a ultrafialovému záření, proto se zřídka používá v outdoorových aplikacích bez ochrany před slunečním světlem.

1.3.2.3 Bezpečnostní pravidla pro práci s kevlarovými materiály

Z tohoto materiálu nevyplývají žádná přímá rizika. Všeobecně, při možnosti uvolňování většího množství drobných částic, je doporučováno použít ochranný oděv s dlouhými rukávy a respirační roušky. Možné nebezpečí je spojené především s jeho zpracováním, při kterém se může uvolnit prach a respirabilní (vdechnutelná) části vláken. Shodně jako u čedičových vláken nedosahuje průměr kevlarových vláken rizikového průměru. Dlouhodobé vdechování vlákenných částic pochopitelně může vést k poškození plic. Vysoká koncentrace prachu může dráždit oči, nos a dýchací systém a způsobit kašel a kýchání. Také kůže může být přechodně mírně podrážděná se zarudnutí nebo svěděním. Po kontaktu s kůží se doporučuje stejný postup jako u čedičových materiálů [11].

1.3.3 Souhrn vlastností čedičových a kevlarových vláken

Tab. 1 obsahuje shrnutí charakteristických vlastností čedičových a kevlarových vláken.

Tab. 1 Vlastnosti kevlarových a čedičových vláken [5, 6, 7,9]

	čedič	Kevlar
tažnost	2%	3,6 %
pevnost v tahu [GPa]	1,1-1,5 GPa	3,6 GPa
průměr vláken d [μm]	9–12 μm	11,8 μm
hustota – měrná hmotnost [kg. m^{-3}]	2600-2800 kg. m^{-3}	1400 kg. m^{-3}
navlhavost [%]	0,5%	4-6%
modul pružnosti E [GPa]	89 GPa	80 GPa

1.4 ZKOUŠENÍ MECHANICKÝCH VLASTNOSTÍ PLOŠNÝCH TEXTILIÍ

Nejčastěji prováděnými zkouškami mechanických vlastností jsou pevnost v tahu, pevnost v natržení a dalším trhání a pevnost v protržení. Pevnost v pronikání hrotů a pevnost v protlaku kuličkou jsou zkouškami převážně pro technické textilie a geotextilie. Pro nábytkářské potahové textilie jsou prováděny simulační zkoušky cyklického vtlačování kulového vrchlíku. Tento test stanoví úroveň trvalých (plastických) deformací při běžném užívání textilie [3].

Působení vnějších sil na textílii popisují mechanické vlastnosti celého materiálu. V hotových výrobcích se mechanická namáhání plošných textilií odehrávají v oblasti malých deformací [3]. V praxi dochází málodky k takovému namáhání, které by znamenalo porušení plošné textilie.

1.4.1 Pevnost plošných textilií v tahu

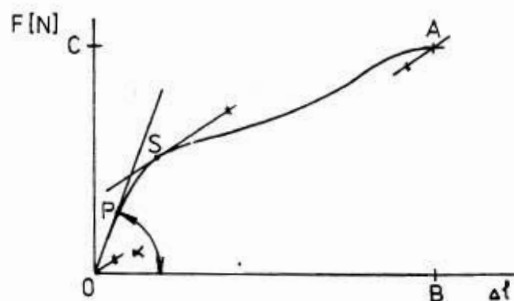
Pevností v tahu nazýváme odezvu materiálu při namáhání materiálu. Tato zkouška se provádí na dynamometru. Zkouška je destruktivní (dochází k přetržení vzorku) a je dáná normou ČSN EN ISO 13934-1. Vzorky se zkouší ve dvou na sobě kolmých směrech. U tkanin ve směru osnovy a útku, u pletenin ve směru sloupku a rádku. Norma udává tvar vzorku a jeho přesné rozměry, upínací délku vzorků, předpětí vzorku.

U tkanin a pletenin jsou výsledné tvary křivek pevnosti a tažnosti odlišné. Tkanina bývá pevnější, má strmější křivku a menší tažnost. Pletenina míívá nižší pevnost, větší tažnost a křivku pozvolněji stoupající. Tahové křivky se také liší v obou na sebe kolmých směrech zkoušené plošné textilie. Tento jev se nazývá anizotropie. [3]

Pevnost v tahu je popisována charakteristikami:

- pevnost F [N]
- napětí do přetrhu σ [Pa] nebo relativní pevnost v tahu f [N.tex-1]
- absolutní deformace Δl [mm] nebo tažnost (relativní deformace) ε [%]
- práce W [J]

Grafickým znázorněním této zkoušky je závislost síly F [N] na deformaci Δl [mm] viz Obr. 11.



Obr. 11 Deformační křivka [3]

Ze zobrazené křivky lze vyčíst charakteristické části:

- 0počátek
- 0-P....oblast pružných (elastických) deformací
- Pmez pružnosti – nad tímto bodem se projevují plastické deformace
- Spočátek kluzu
- A.....maximální síla
- B.....přetrh

1.4.1.1.1 Absolutní pevnost v tahu

Absolutní pevnost v tahu je definována jako síla F [N] potřebná k přetržení vzorku.

1.4.1.1.2 Relativní pevnost v tahu

U materiálů u nichž lze stanovit plochu průřezu je stanovena jako napětí σ [Pa].

$$\sigma = \frac{F}{S} \quad [\text{Pa}] \quad (15)$$

F – absolutní pevnost [N]

S – plocha průřezu vzorku [m^2]

Absolutní pevnost vztažená na délkovou hmotnost T [tex], využívaná pro textilní materiály, je označována jako měrná pevnost f [N.tex⁻¹].

$$f = \frac{F}{T} \quad [N.tex^{-1}] \quad (16)$$

F – absolutní pevnost [N]

T – délková jemnost [tex]

1.4.1.1.3 Absolutní deformace

Udává prodloužení vzorku vlivem působící síly.

$$\Delta l = l - l_0 \quad [mm] \quad (17)$$

l – délka vzorku [mm]

l_0 – upínací délka [mm]

1.4.1.1.4 Relativní deformace - tažnost

Vyjadřuje se jako poměrné prodloužení ε [%].

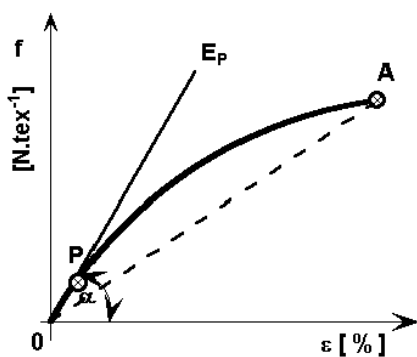
$$\varepsilon = \frac{l - l_0}{l_0} 10^2 \quad [\%] \quad (18)$$

l – délka vzorku [mm]

l_0 – upínací délka [mm]

1.4.1.1.5 Modul pružnosti

Nejčastěji se používá tangentový modul pružnosti E_T [N.tex⁻¹], který vychází ze sestrojení tečny ke křivce v počátku. Bod P , kde tečna opouští křivku je definován jako mez pružnosti viz Obr 12.



Obr. 12 Konstrukce tečny k deformační křivce v jejím počátku [3]

Tangentový modul pružnosti E_T [N.tex⁻¹].

$$E_T = \frac{f_P}{\varepsilon_P} \quad [N.tex^{-1}] \quad (19)$$

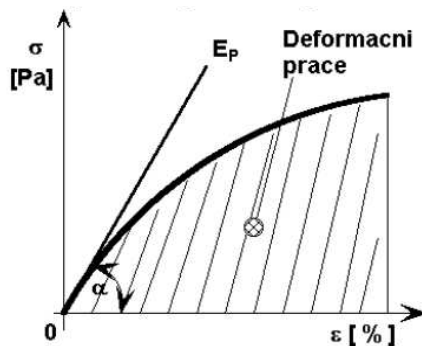
f_P – měrná pevnost v bodě P [N.tex⁻¹]

ε_P – deformace v bodě P [%]

1.4.1.1.6 Deformační práce

Je definována jako práce potřebná k přetržení vzorku a lze ji vyjádřit jako obsah plochy pod deformační křivkou.

$$A = \int_0^1 F \cdot dl \quad [J] \quad (20)$$



Obr. 13 Deformační práce [3]

2. EXPERIMENTÁLNÍ ČÁST

Experimentální část se zabývá zkoušením vlastností čedičových a čedičokevlarových pletenin. Rozbory a zkoušky byly prováděny dle platných Českých technických norem (ČSN) a za podmínek v nich stanovených. Pro statistické zpracování dat byly používány informace z literatury [12].

Počáteční experiment proběhl na pleteninách zhotovených v rámci projektu zabývajícím se kompozitními materiály realizovaném na KTM. Bylo na nich stanoveno:

- struktura pleteniny
- materiálové složení
- hustota provázání
- rozteč rádků a sloupků
- spletení, stupeň spletení
- délka nitě v očku

Dále byly, dle parametrů zjištěných při počátečním experimentu, vyrobeny vzorky vlastní. Tyto vzorky byly vyráběny z důvodu potřeby dodržet normou definované rozměry vzorků pro testování pevnosti v tahu. Z původně poskytnutých materiálů nebylo možné připravit vzorky předepsaných rozměrů. Při pokusech o přípravu vzorků bylo první komplikací samotné použití nůžek. Ke stříhání bylo nutné použít speciální nůžky pro stříhání kevlaru. Dále se projevil problém, že jakýkoliv mechanický zásah do struktury pleteniny je pro ni plně destruktivní. Pletenina se začala okamžitě rozplétat na rovingy, z nichž byla vyrobena viz Obr. 14.



Obr. 14 Destrukce struktury pleteniny po mechanickém zásahu (stříhání)

Jakékoliv pokusy o zajištění či zpevnění by zapříčinily nepřesnost měření, jelikož by se jednalo o těžko definovatelné přidání materiálů, např. zajištění okrajů rovingů přízí či zafixování vzorků lepící páskou.

Na vyrobených vzorcích byly provedeny zkoušky, jejichž výsledkem byly hodnoty:

- tloušťka
- hmotnost – plošná, objemová
- půrovitost
- pevnost v tahu
- tažnost
- modul pružnosti

2.1 PŘÍSTROJOVÉ A PROGRAMOVÉ VYBAVENÍ

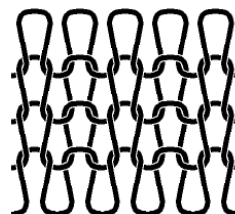
Ke zpracování experimentální části byly použity přístroje a programy:

- mechanický dvoulůžkový pletací stroj VebElite Diamant typ 54811
- analytické váhy SARTORIUS PRO 13/17/23/27T
- nůžky na kevlar
- dynamometr TIRA test 2300
- tloušťkoměr UNI-THICKNESS-METER FF27
- systém obrazové analýzy LUCIA - kamera BASLER, videomakroskop NAVITAR
- digitální fotoaparát Nicon D60
- počítač Intel(R) Core (TM)2 CPU 6300, 1,87 GHz, 1,99 GB RAM
- Microsoft Windows XP Professional 2002, SP 2
- Microsoft Office Excel 2003
- Microsoft Office Word 2003
- Matlab verze 7.0.1.24704
- software obrazové analýzy Lucia – NIS-Elements

2.2 ZÁKLADNÍ ROZBOR TEXTILIE

2.2.1 Struktura textilie

Byl proveden rozbor struktury pleteniny, bylo zjištěno, že oba druhy textilií byly vyrobeny metodou pletení ve vazbě zátažné oboulícní. Pleteniny již byly plně relaxované, což znamená, že od jejich výroby uplynula dostatečná doba na to, aby vnitřní deformační energie dosáhla minima.



Obr. 15 Zátažná oboulícní pletenina [1]

2.2.2 Materiálové složení

Při výrobě pletenin byly použity čedičový roving od firmy Kamenny Vek a kevlarový roving firmy DuPont. V Tab. 2 jsou uvedeny informace o materiálech od výrobců.

Tab. 2 Informace o materiálech od výrobce

	jemnost T [tex]	síla F [N]	tažnost ϵ [%]	poměrná pevnost σ [N/tex]
čedičový roving	90,8	154,9	1,97	1,17
kevlarový roving	171,2	199	6,21	1,16



Obr. 16 Čedičový (vlevo) a kevlarový (vpravo) roving [13,14]

2.2.3 Hustota provázání, rozteč řádků a sloupků

Tyto hodnoty byly stanoveny jako počet sloupků a řádků na 100 mm. Byly určeny desetkrát pro řádky i sloupky, poté byly přepočítány na 1 m a vypočteny průměrné hodnoty. Dle vzorce (6) na str. 17 byla vypočítána celková hustota textilie. Vypočtené hodnoty jsou uvedeny v Tab. 3. Tato tabulka zároveň obsahuje průměrné hodnoty vypočítaných roztečí řádků a sloupců dle vzorců (7) a (8) na str. 18.

*Tab. 3 Základní parametry relaxované pleteniny
hustota sloupků H_s , a řádků H_r , celková hustota H_c , rozteč sloupků w a řádků c*

	H_s [ok/m]	H_r [ok/m]	H_c [ok/m ²]	w [m]	c [m]
čedič	760	780	592800	0,00132	0,00128
čedič / kevlar	800	920	736000	0,00125	0,00109

2.2.4 Spletení, stupeň spletení

Principem bylo vypáraní nitě ze 100 mm textilie, uchopení nitě na koncích pomocí pinzet a změření její délky. Měření bylo provedeno desetkrát pro každý druh pleteniny. Z těchto dat byly vypočteny dle vzorců (13) na str. 20 a (14) na str. 20 průměrné hodnoty spletení a stupně spletení. Výsledné hodnoty jsou uvedené v Tab. 4.

Tab. 4 Průměrné hodnoty spletení a stupně spletení

	spletení ϵ_p [%]	stupeň spletení K_p [-]
čedič	79,6	0,204
čedič / kevlar	84,2	0,158

2.2.5 Délka nitě v očku, koeficient hustoty

Díky struktuře pleteniny nebylo možné provést stanovení pomocí projekce nebo obrazové analýzy. Očka jsou z důvodu použití oboulícné vazby po relaxaci pleteniny postavena tak, že nelze přesně určit všechny jejich části popsané a zobrazené na Obr. 5 na str. 18. Byla tedy zvolena metoda přibližného stanovení, která spočívá

ve vypářání 10 oček pleteniny, změření délky vypárané nitě s následným přepočtem na délku jednoho očka. Výsledné průměrné hodnoty jsou uvedeny v Tab. 5. Zde jsou také uvedeny vypočtené koeficienty hustoty dle vzorce (11) na str. 19. K tomuto výpočtu musíme znát průměry přízí, ty byly stanoveny pomocí obrazové analýzy na systému Lucia.

Tab. 5 Průměrné hodnoty délky nitě v očku, průměrů přízí a koeficient hustoty

	délka nitě v očku l_O [m]	průměr příze d [mm]	koeficient hustoty δ [-]
čedič	0,00716	0,74	7,4
čedič / kevlar	0,00857	1,39	6,2

2.3 VÝROBA VZORKŮ

Výroba vzorků probíhala na mechanickém dvoulůžkovém pletacím stroji VebElite Diamant typ 54811 s dělením 7“E (pozn. dělení vyjadřuje počet jehel jednoho lůžka pletacího stoje na jeden anglický palec, který odpovídá 25,39954 mm). Parametry pro výrobu pleteniny jsou uvedeny v Tab. 3, str. 34. Materiálové složení a použité vazby pletenin jsou uvedeny v Tab. 6.

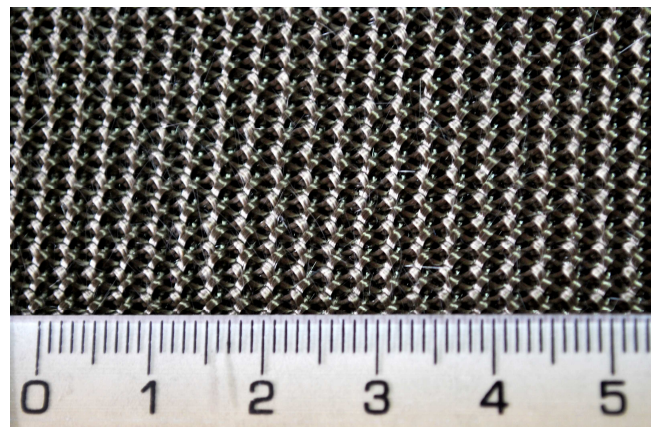
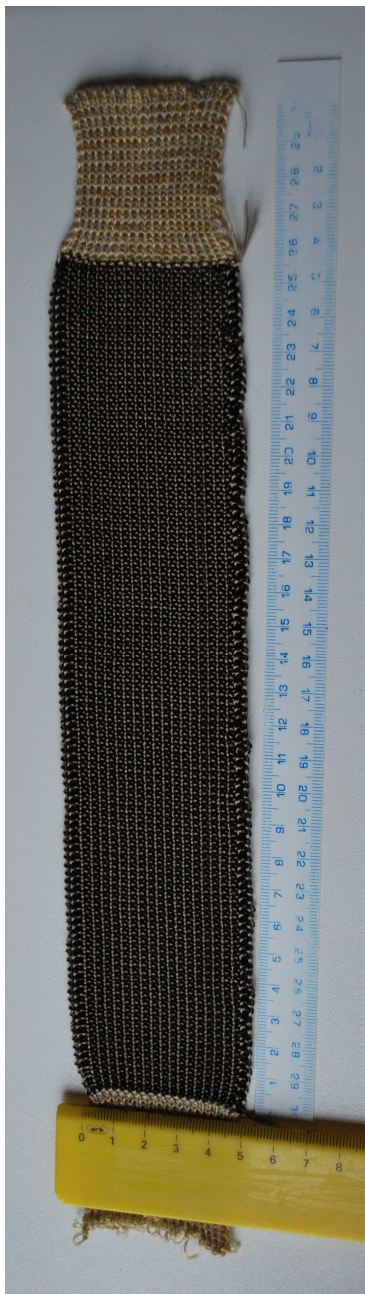
Tab. 6 Použité materiály a vazba pro výrobu vzorků

	čedič	kevlar	vazba
čedičová pleteniny	3 rovingy	-	zátažná oboulícní
čedičokevlarová pletenina	2 rovingy	1 roving	zátažná oboulícní

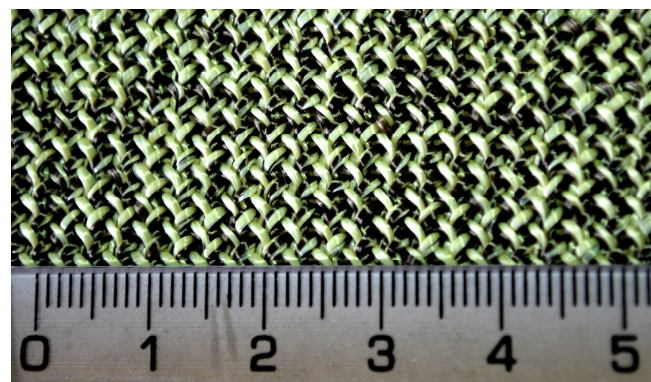
Výroba pletenin byla časově velice náročná. Tato náročnost plynula hlavně z použitých materiálů. Díky formě návinu, ve které jsou rovingy dodávány, bylo nezbytné neustále kontrolovat odvýjení, při kterém docházelo k vzájemnému zamotávání jednotlivých návinů. Také bylo nezbytné často čistit jehelní lůžka a saně pomocí štětečku, jelikož jsou tyto části pro hladký chod stroje ošetřovány mazacím olejem, a právě v něm ulpívaly odlámané částečky čedičových rovingů. Z důvodu usnadnění pletení byl každý vzorek započat i ukončen třiceti řadami pomocné zátažné

obouční pleteniny z běžné textilní směsové příze, která byla později odstraněna.

Vzhledem k technickým možnostem pletacího stroje a množství dostupných materiálů bylo vyrobeno 10 vzorků o požadovaných výsledných rozměrech 5x25cm čedičové pleteniny a stejně množství vzorků o totožných rozměrech čedičokevlarové pleteniny. Bylo nutné nechat vzorky minimálně týden volně relaxovat.



Obr. 17 Čedičová pletenina



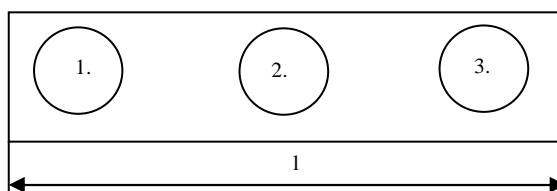
Obr. 18 Čedičokevlarová pleteniny

Obr. 19 Zhotovený vzorek čedičové pleteniny

2.4 ZÁKLADNÍ VLASTNOSTI PLETENINY

2.4.1 Tloušťka

Měření bylo provedeno na přístroji UNI-THICKNESS-METER FF27 při laboratorních podmínkách teplota $t = 23^\circ\text{C}$, vlhkost $\varphi = 34\%$, atmosférický tlak 98,26 kPa. Tloušťka byla zjišťována vždy na třech místech pro každý vzorek viz Obr. 20.



Obr. 20 Měření tloušťky

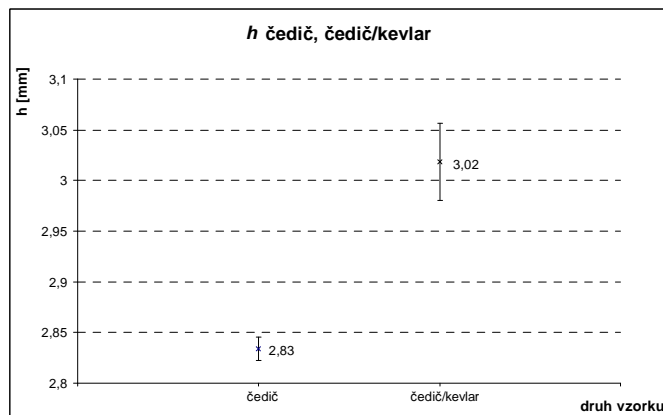
Dle norem platných pro tuto zkoušku ČSN EN ISO 5084 byly použity parametry:

- doba měření 30 s
- tlak 1 kPa
- plocha čelisti 1000 mm^2

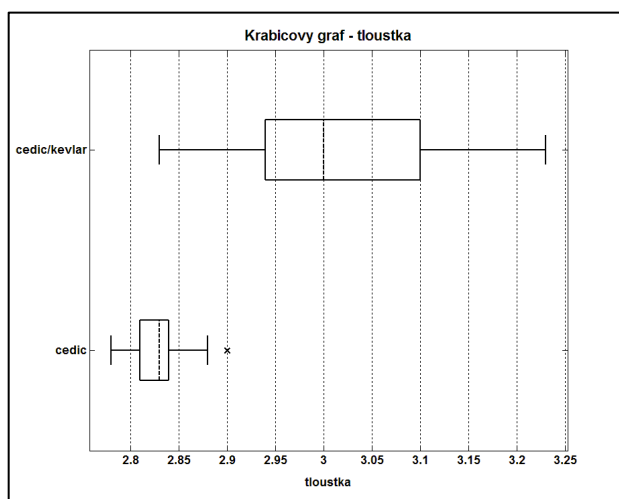
Naměřené hodnoty byly statisticky zpracovány a zobrazeny v grafech. Výsledné průměrné hodnoty jsou uvedeny v Tab. 7. Grafické zobrazení viz Obr. 21 a Obr. 22. V příloze na CD jsou kompletní hodnoty výsledků měření viz Tab. A1, A2 a další grafické zpracování Obr. B1, B2.

Tab. 7 Zpracování hodnot tloušťky

	čedič	čedič/kevlar
průměrná hodnota \bar{h} [mm]	2,83	3,02
minimální hodnota h_{min} [mm]	2,78	2,83
maximální hodnota h_{max} [mm]	2,90	3,23
směrodatná odchylka s [mm]	0,032	0,103
variační koeficient v [%]	1,12	3,40
interval spolehlivosti IS [mm]	$< 2,82 - 2,85 >$	$< 2,98 - 3,06 >$
medián \tilde{h} [mm]	2,83	3,00



Obr. 21 Porovnávací graf tloušťky čedičové a čedičokevlarové pleteniny



Obr. 22 Krabicové grafy tloušťky

Z grafu na Obr. 21 lze vyčíst průměrné hodnoty tloušťek pletenin v závislosti na druhu pleteniny. Pro čedičovou pleteninu je tato hodnota 2,83 mm a čedičokevlarovou pleteninu 3,02 mm. Jsou zde také zobrazeny chybové úsečky měření, které jsou u čedičokevlarové pleteniny větší, což je způsobeno vícekomponentním složením vstupních rovingů a jejich vzájemným nepravidelným uspořádání.

Z krabicovém grafu na Obr. 22 lze vyčíst hodnoty mediánu pro čedičovou pleteninu 2,83 mm a čedičokevlarovou pleteninu 3,00 mm. U čedičové pleteniny byla maximální naměřená hodnota 2,90 mm označena za vybočující měření a hradba posunuta na nejbližší hodnotu 2,88 mm. Ostatní hodnoty hradeb odpovídají maximálním a minimálním hodnotám uvedeným v Tab. 7 na str. 36. U čedičové pleteniny jsou data mírně zešikmena směrem k vyšším hodnotám (hodnota mediánu

je posunuta směrem k horním kvartilu). U čedičokevlarové pleteniny jsou data mírně zešikmena k nižším hodnotám (hodnota mediánu je posunuta k dolnímu quartilu). Vzorek odpovídající hodnotě jako vybočující nebyl z dalšího zpracování vyloučen, jelikož na něm nebyly žádné viditelné odlišnosti.

2.4.2 Hmotnost

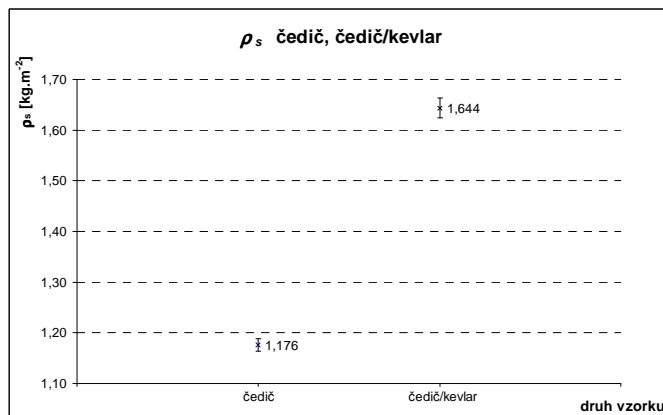
Hmotnost byla měřena na digitálních vahách SANTORIUS PRO 13/17/23/27T. U každého vzorku byly naměřeny jeho přesné rozměry, na vahách zjištěna jeho hmotnost a poté vypočítána plošná hmotnost dle vzorce (1) na str. 15 a objemová měrná hmotnost dle vzorce (2) na str. 16. Vypočtené hodnoty byly statisticky zpracovány a zobrazeny v grafech. Výsledné průměrné hodnoty jsou uvedeny v Tab. 8 a Tab. 9. Grafické zobrazení viz Obr. 23, Obr. 24, Obr. 25 a Obr. 26. V příloze na CD jsou kompletní hodnoty výsledků měření viz Tab. A3, A4 a další grafické zpracován Obr. B3, B4, B5, B6.

Tab. 8 Zpracování hodnot plošné hmotnosti

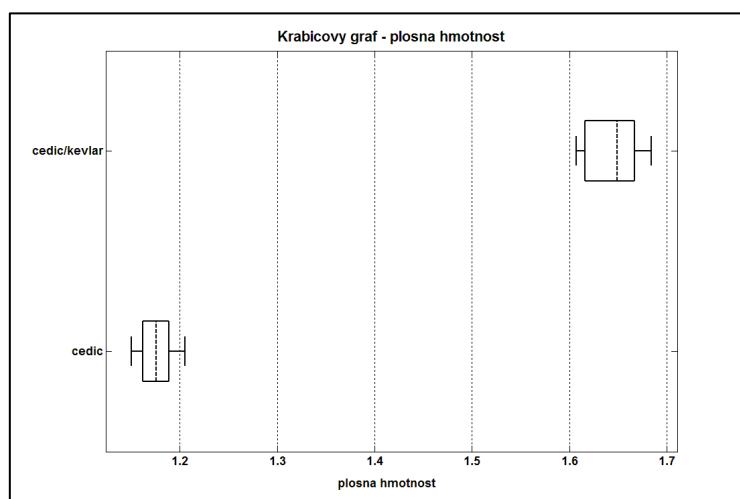
	čedič	čedič/kevlar
průměrná hodnota $\bar{\rho}_s [kg.m^{-2}]$	1,176	1,644
minimální hodnota $\rho_s [kg.m^{-2}]$	1,150	1,607
maximální hodnota $\rho_s [kg.m^{-2}]$	1,205	1,684
směrodatná odchylka $s [kg.m^{-2}]$	0,017	0,028
variační koeficient $v [\%]$	1,451	1,691
interval spolehlivosti $IS [kg.m^{-2}]$	$< 1,164 - 1,188 >$	$< 1,624 - 1,664 >$
medián $\tilde{\rho}_s [kg.m^{-2}]$	1,176	1,6489

Tab. 9 Zpracování hodnot objemové hmotnosti

	čedič	čedič/kevlar
průměrná hodnota $\bar{\rho}_v [kg.m^{-3}]$	414,7	544,7
minimální hodnota $\rho_v [kg.m^{-3}]$	404,3	516,8
maximální hodnota $\rho_v [kg.m^{-3}]$	424,3	565,8
směrodatná odchylka $s [kg.m^{-3}]$	6,9	13,9
variační koeficient $v [\%]$	1,7	2,5
interval spolehlivosti $IS [kg.m^{-3}]$	$< 409,8 - 419,6 >$	$< 534,8 - 554,6 >$
medián $\tilde{\rho}_v [kg.m^{-3}]$	416,2	545,2



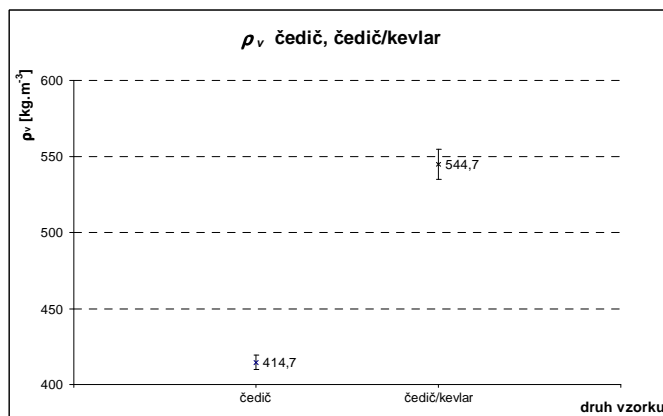
Obr. 23 Porovnávací graf plošné hmotnosti čedičové a čedičokevlarové pleteniny



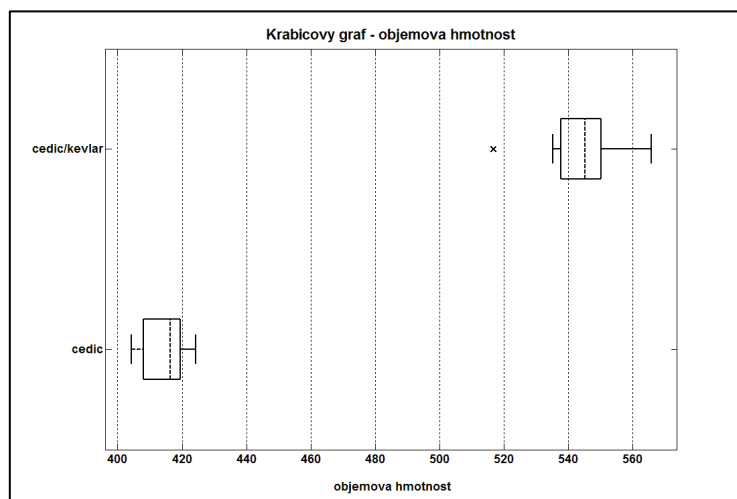
Obr. 24 Krabicové grafy plošné hmotnosti

Z grafu na Obr. 23 lze vyčíst průměrné hodnoty plošných hmotností pletenin v závislosti na druhu pleteniny. Pro čedičovou pleteninu je tato hodnota $1,176 \text{ kg.m}^{-2}$ a čedičokevlarovou pleteninu $1,644 \text{ kg.m}^{-2}$. Jsou zde také zobrazeny chybové úsečky měření. U obou druhů pletenin je rozmezí intervalů spolehlivosti srovnatelné.

Z krabicovém grafu na Obr. 24 lze vyčíst hodnoty mediánu pro čedičovou pleteninu $1,176 \text{ kg.m}^{-2}$ a čedičokevlarovou pleteninu $1,649 \text{ kg.m}^{-2}$. Hodnoty hradeb odpovídají maximálním a minimálním hodnotám uvedeným v Tab. 8 na str. 38. U čedičové pleteniny jsou data symetrická, i hodnota mediánu odpovídá průměrné naměřené hodnotě. U čedičokevlarové pleteniny jsou data mírně zešikmena k vyšším hodnotám (hodnota mediánu je posunuta k hornímu kvartilu).



Obr. 25 Porovnávací graf objemové hmotnosti čedičové a čedičokevlarové pleteniny



Obr. 26 Krabicové grafy objemové hmotnosti

Z grafu na Obr. 25 lze vyčíst průměrné hodnoty objemových hmotností pletenin v závislosti na druhu pleteniny. Pro čedičovou pleteninu je tato hodnota $414,7 \text{ kg.m}^{-3}$ a čedičokevlarovou pleteninu $544,7 \text{ kg.m}^{-3}$. Jsou zde také zobrazeny chybové úsečky měření, které jsou u čedičokevlarové pleteniny větší, což je způsobeno zanesením chyb použitím hodnot tloušťky při výpočtu objemové hmotnosti

Z krabicovém grafu na Obr. 26 lze vyčíst hodnoty mediánu pro čedičovou pleteninu $416,3 \text{ kg.m}^{-3}$ a čedičokevlarovou pleteninu $545,2 \text{ kg.m}^{-3}$. U čedičokevlarové pletniny byla minimální hodnota $516,8 \text{ kg.m}^{-3}$ označena za vybočující měření a hradeba posunuta na nejbližší hodnotu $535,2 \text{ kg.m}^{-3}$. Ostatní hodnoty hradeb odpovídají maximálním a minimálním hodnotám uvedeným v Tab. 9 na str. 38. U čedičové pleteniny jsou data mírně zešikmena směrem k vyšším hodnotám (hodnota mediánu

je posunuta směrem k horním kvartilu). U čedičokevlarové pleteniny jsou data mírně zešikmena k vyšším hodnotám (hodnota mediánu je posunuta směrem k hornímu quartilu). Vzorek odpovídající hodnotě označené jako vybočující nebyl z dalšího zpracování vyloučen, jelikož na něm nebyly žádné viditelné odlišnosti.

2.4.3 Pórovitost

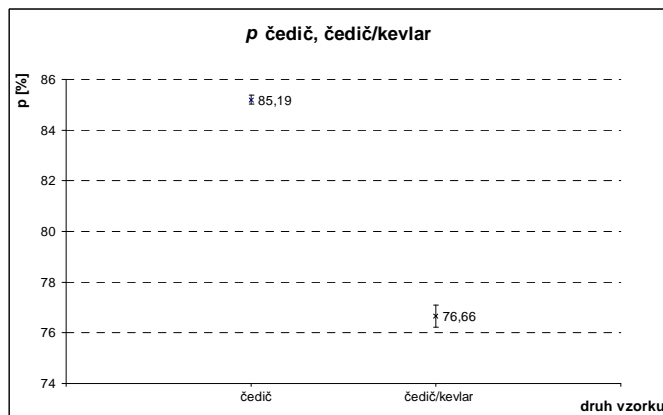
Pórovitost čedičové pleteniny byla vypočítána dle vztahu (3) na str. 16 pro jednokomponentní textilii. Pro výpočet pórovitosti čedičokevlarové pleteniny byl použit vzorec (5) na str. 17. U vícekomponentní pleteniny bylo nutné nejdříve stanovit obsahy jednotlivých komponent (rovingů), hodnoty jsou uvedeny v Tab. 10. Pomocí vzorce (4) na str. 17 byla vypočítána hustota směsi. Vypočtené hodnoty pórovitosti byly statisticky zpracovány a zobrazeny v grafech. Výsledné průměrné hodnoty jsou uvedeny v Tab. 11. Grafické zobrazení viz Obr. 27 a Obr. 28. V příloze na CD jsou kompletní hodnoty výsledků měření viz Tab. A5 a další grafické zpracování Obr. B7, B8.

Tab. 10 Hodnoty obsahů jednotlivých komponent čedičokevlarové pleteniny

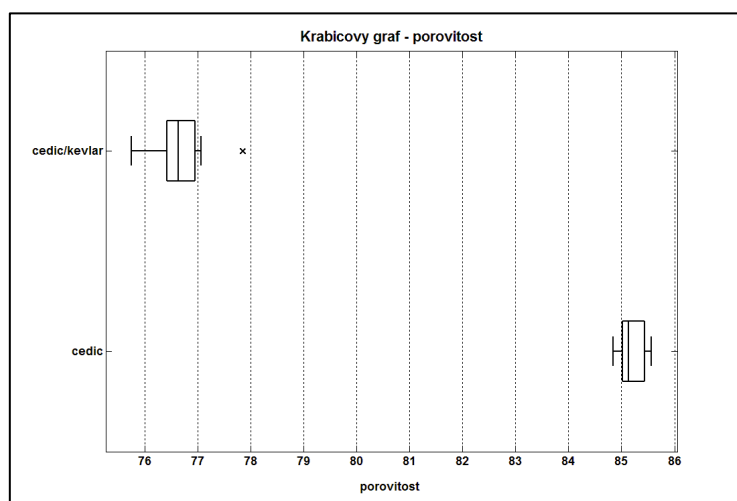
obsah čedičové komponenty	obsah kevlarové komponenty
66,67%	33,33%

Tab. 11 Zpracování hodnot pórovitosti čedičové a čedičokevlarové pleteniny

	čedič	čedič/kevlar
průměrná hodnota \bar{p} [%]	85,19	76,66
minimální hodnota p_{min} [%]	84,85	75,75
maximální hodnota p_{max} [%]	85,56	77,85
směrodatná odchylka s [%]	0,25	0,59
variační koeficient v [%]	0,29	0,775
interval spolehlivosti IS [%]	< 85,01 – 85,37 >	< 76,23 – 77,08 >
medián \tilde{p} [%]	85,13	76,64



Obr. 27 Porovnávací graf pόrovitosti čedičové a čedičokevlarové pleteniny



Obr. 28 Krabicové grafy pόrovitosti

Z grafu na Obr. 27 lze vyčíst průměrné hodnoty pόrovitostí pletenin v závislosti na druhu pleteniny. Pro čedičovou pleteninu je tato hodnota 85,19% a čedičokevlarovou pleteninu 76,66%. Jsou zde také zobrazeny chybové úsečky měření, které jsou u čedičokevlarové pleteniny větší, což je způsobeno zanesením chyb použitím hodnot objemové hmotnosti při výpočtu pόrovitosti.

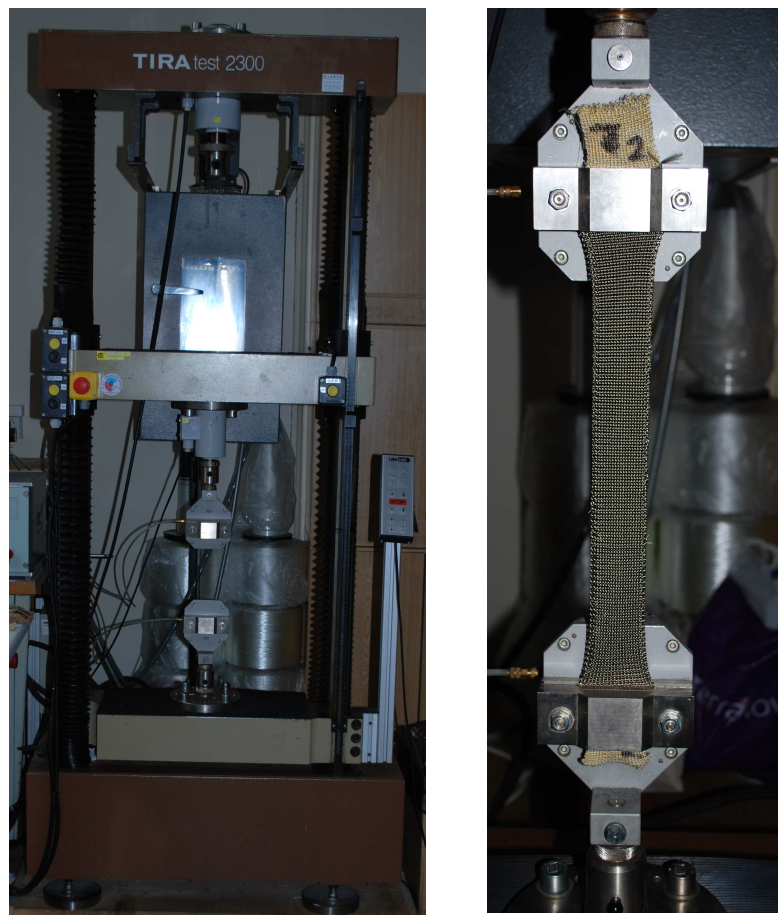
Z krabicovém grafu na Obr. 28 lze vyčíst hodnoty mediánu pro čedičovou pleteninu 85,19% a čedičokevlarovou pleteninu 76,64%. U čedičokevlarové pletiny byla maximální hodnota 77,85% označena za vybočující měření a hradba posunuta na nejbližší hodnotu 77,06%. Ostatní hodnoty hradeb odpovídají maximálním a minimálním hodnotám uvedeným v Tab. 11 na str. 41. U čedičové pleteniny jsou data mírně zešikmena směrem k nižším hodnotám (hodnota mediánu je posunuta směrem k dolnímu kvartilu). U čedičokevlarové pleteniny jsou data, po vyloučení jedné

hodnoty, téměř symetrická. Vzorek odpovídající hodnotě označené jako vybočující nebyl z dalšího zpracování vyloučen, jelikož na něm nebyly žádné viditelné odlišnosti.

2.5 PEVNOST V TAHU

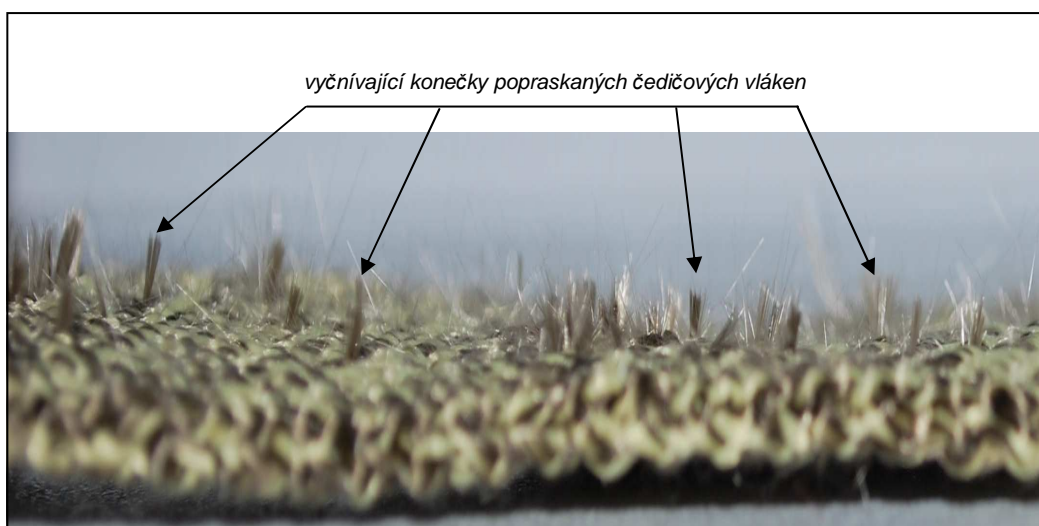
Pevnost v tahu byla testována na dynamometru TIRA test 2300. Zkoušky byly prováděny dle normy ČSN EN ISO 13934-1. Dle těchto norem bylo nastaveno:

- rozměry vzorku: $a = h$ (tloušťka [mm]), $b = 50$ mm
- profil vzorku – plochý
- počáteční délka (upínací délka) $l_0 = 200$ mm
- síla pro předpětí $F_0 = 0,1$ N
- rychlosť posuvu $v_I = 100$ mm/min



Obr. 29 Zkušební přístroj TIRA test 2300 (vlevo), upnutí zkoušeného vzorku (vpravo)

Pro tento test bylo použito 10 vzorků od každého druhu pleteniny. U obou materiálů docházelo k prokluzu v čelistech což je patrné i na deformačních křivkách. Byl testován i jeden náhradní vzorek kdy byl mezi čelisti a pleteninu z každé strany vložen smirkový papír. Tato metoda se neosvědčila – k prokluzům došlo při mnohem nižších hodnotách působící síly než při standardním upnutí. Prokluzování bylo menší u čedičové pleteniny, vyšší u čedičokevlarové pleteniny. U čedičokevlarové pleteniny docházelo k přetrhům až v místech narušených čelistmi, v některých případech až na hranici s pomocnou pleteninou. Dalším pozorovaným jevem bylo u čedičokevlarových pletenin výrazné narušování čedičového rovingu a jeho vyčnívání ze vzorků viz Obr. 30.



Obr. 30 Vyčnívající konečky popraskaného čedičového rovingu v čedičokevlarové pletenině

Výstupními hodnotami z této zkoušky byly:

- F_{max} [N] = maximální síla
- A_{max} [mm] = tažnost při F_{max}
- E [MPa] = modul pružnosti

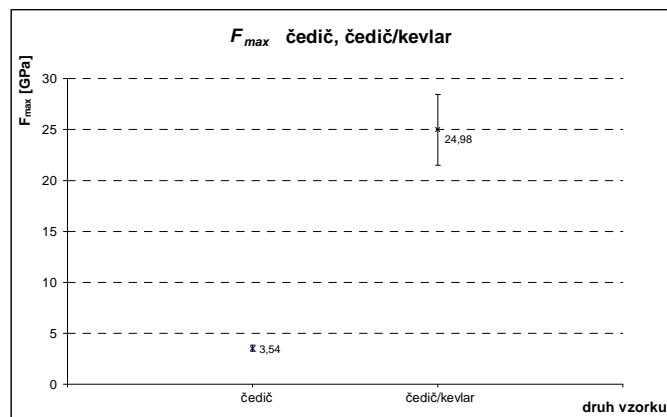
Současně byl vytvořen grafický záznam zkoušek a statistické vyhodnocení.

2.5.1 Pevnost v tahu

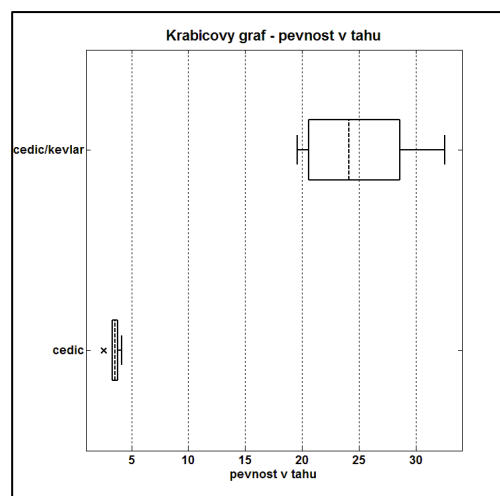
Pro lepší porovnání byla maximální síla přepočtena pomocí průřezu vzorku na jednotky Pascal. Naměřené hodnoty byly statisticky zpracovány a zobrazeny v grafech. Výsledné průměrné hodnoty jsou uvedeny v Tab. 12. Grafické zobrazení viz Obr. 31 a Obr. 32. V příloze na CD jsou kompletní hodnoty výsledků měření viz Tab. A6 a další grafické zpracování Obr. B9, B10.

Tab. 12 Zpracování hodnot poměrné pevnosti čedičové a čedičokevlarové pleteniny

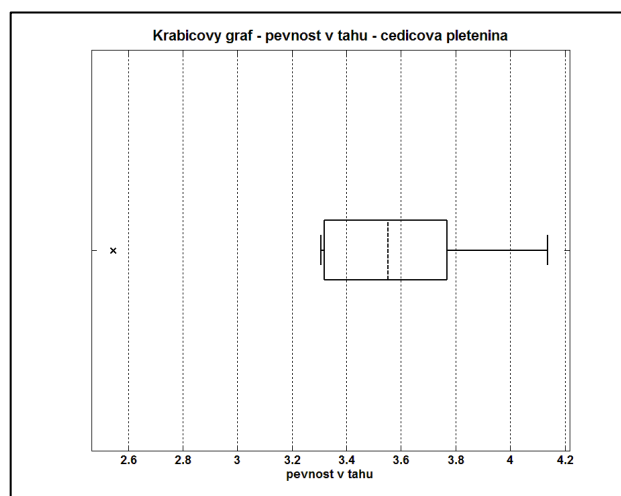
	čedič	čedič/kevlar
průměrná hodnota $\bar{F}_{\max} [GPa]$	3,54	24,98
minimální hodnota $F_{\max_{\min}} [GPa]$	2,54	19,58
maximální hodnota $F_{\max_{\max}} [GPa]$	4,14	32,59
směrodatná odchylka $s [GPa]$	0,45	4,88
variační koeficient $v [\%]$	12,76	19,54
interval spolehlivosti $IS [GPa]$	$< 3,22 - 3,86 >$	$< 21,49 - 28,47 >$
medián $\tilde{F}_{\max} [GPa]$	3,55	24,14



Obr. 31 Porovnávací graf pevnosti v tahu čedičové a čedičokevlarové pleteniny



Obr. 32 Krabicové grafy pevnosti v tahu



Obr. 33 Krabicový graf pevnosti v tahu čedičové pleteniny

Z grafu na Obr. 31 lze vyčíst průměrné hodnoty pevností v tahu pletenin v závislosti na druhu pleteniny. Pro čedičovou pleteninu je tato hodnota 3,54 GPa a čedičokevlarovou pleteninu 24,94 GPa. Jsou zde také zobrazeny chybové úsečky měření, které jsou u čedičokevlarové pleteniny výrazně větší, což je způsobeno prokluzem pleteniny v čelistech dynamometru.

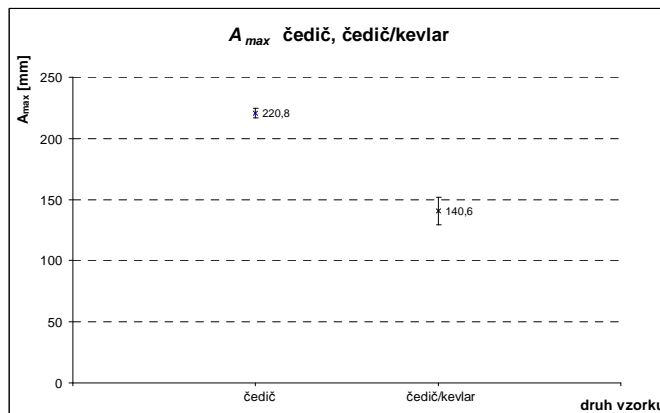
Na Obr. 32 je krabicový graf čedičové pleteniny velice špatně čitelný, proto je vyobrazen na Obr. 33 jeho detail. Z grafů lze vyčíst hodnoty mediánu pro čedičovou pleteninu 3,55 GPa a čedičokevlarovou pleteninu 24,14 GPa. U čedičové pleteniny byla minimální hodnota 2,54 GPa označena za vybočující měření a hradba posunuta na nejbližší hodnotu 3,31 GPa. Ostatní hodnoty hradeb odpovídají maximálním a minimálním hodnotám uvedeným v Tab. 12 na str. 45. U čedičové pleteniny jsou data, po vyloučení vybočující hodnoty téměř symetrická. U čedičokevlarové pleteniny jsou data mírně zešikmena k nižším hodnotám (hodnota mediánu je posunuta směrem k dolnímu kvartilu). Vzorek odpovídající hodnotě označené jako vybočující nebyl z dalšího zpracování vyloučen, jelikož na něm nebyly žádné viditelné odlišnosti.

2.5.2 Tažnost

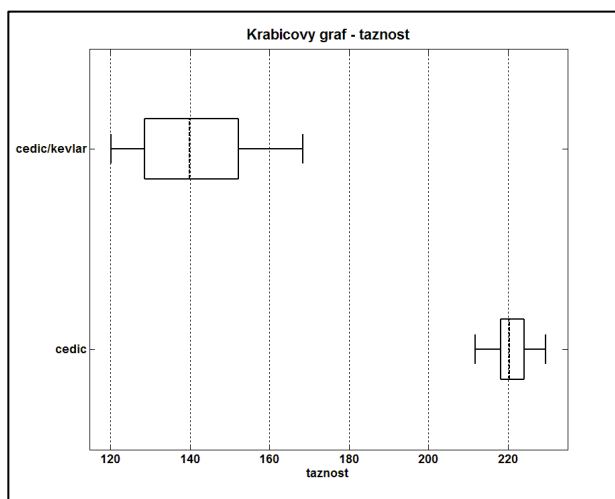
Tažností A_{max} [mm] je zde označeno prodloužení vzorku při maximální síle F_{max} . Naměřené hodnoty byly statisticky zpracovány a zobrazeny v grafech. Výsledné průměrné hodnoty jsou uvedeny v Tab. 13. Grafické zobrazení viz Obr. 34 a Obr. 35. V příloze na CD jsou kompletní hodnoty výsledků měření viz Tab. A7 a další grafické zpracování Obr. B11, B12

Tab. 13 Zpracování hodnot tažnosti čedičové a čedičokevlarové pleteniny

	čedič	čedič/kevlar
průměrná hodnota \bar{A}_{max} [mm]	220,8	140,6
minimální hodnota $A_{max,min}$ [mm]	211,8	120,1
maximální hodnota $A_{max,max}$ [mm]	229,5	168,3
směrodatná odchylka s [mm]	5,3	15,7
variační koeficient v [%]	2,4	11,2
interval spolehlivosti IS [mm]	$< 217,0 - 224,6 >$	$< 129,4 - 151,8 >$
medián \tilde{A}_{max} [mm]	220,3	139,9



Obr. 34 Porovnávací graf tažnosti čedičové a čedičokevlarové pleteniny



Obr. 35 Krabicové grafy tažnosti

Z grafu na Obr. 34 lze vyčíst průměrné hodnoty tažností pletenin v závislosti na druhu pleteniny. Pro čedičovou pleteninu je tato hodnota 220,8 mm a čedičokevlarovou pleteninu 140,6 mm. Jsou zde také zobrazeny chybové úsečky měření, které jsou u čedičokevlarové pleteniny větší, což je způsobeno prokluzem pleteniny v čelistech dynamometru.

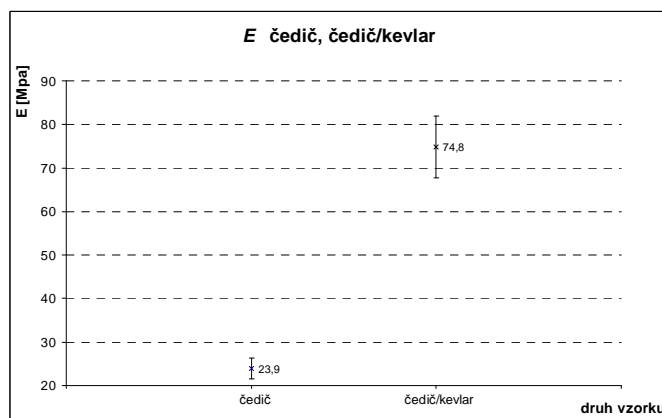
Z krabicovém grafu na Obr. 35 lze vyčíst hodnoty mediánu pro čedičovou pleteninu 220,3 mm a čedičokevlarovou pleteninu 139,9 mm. Hodnoty hradeb odpovídají maximálním a minimálním hodnotám uvedeným v Tab. 13 na str. 47. U čedičové i čedičokevlarové pleteniny jsou data téměř symetrická

2.5.3 Modul pružnosti

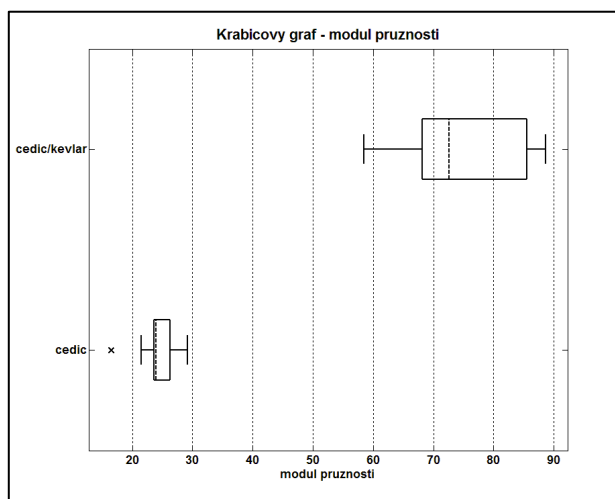
Naměřené hodnoty byly statisticky zpracovány a zobrazeny v grafech. Výsledné průměrné hodnoty jsou uvedeny v Tab. 14. Grafické zobrazení viz Obr. 36 a Obr. 37. V příloze na CD jsou kompletní hodnoty výsledků měření viz Tab. A8 a další grafické zpracování Obr. B139, B14

Tab. 14 Zpracování hodnot modulu pružnosti čedičové čedičokevlarové pleteniny

	čedič	čedič/kevlar
průměrná hodnota \bar{E} [MPa]	23,9	74,8
minimální hodnota E_{min} [MPa]	16,5	58,5
maximální hodnota E_{max} [MPa]	29,2	88,6
směrodatná odchylka s [MPa]	3,3	10,0
variační koeficient v [%]	14,0	13,3
interval spolehlivosti IS [MPa]	$< 21,5 - 26,3 >$	$< 67,7 - 81,9 >$
medián \tilde{E} [MPa]	23,9	72,6



Obr. 36 Porovnávací graf modulu pružnosti čedičové a čedičokevlarové pleteniny



Obr. 37 Krabicové grafy modulu pružnosti

Z grafu na Obr. 36 lze vyčíst průměrné hodnoty modulů pružnosti pletenin v závislosti na druhu pleteniny. Pro čedičovou pleteninu je tato hodnota 23,9 MPa a čedičokevlarovou pleteninu 74,8 MPa. Jsou zde také zobrazeny chybové úsečky měření, které jsou u čedičokevlarové pleteniny výrazně větší, což je způsobeno prokluzem pleteniny v čelistech dynamometru.

Z krabicovém grafu na Obr. 37 lze vyčíst hodnoty mediánu pro čedičovou pleteninu 23,9 MPa a čedičokevlarovou pleteninu 72,6 MPa. U čedičové pleteniny byla minimální hodnota 16,5 MPa označena za vybočující měření a hradba posunuta na nejbližší hodnotu 21,49 MPa. Ostatní hodnoty hradeb odpovídají maximálním a minimálním hodnotám uvedeným v Tab. 14 na str. 49. U čedičové pleteniny jsou data,

po vyloučení vybočující hodnoty výrazně ze říkmena k nižším hodnotám (hodnota mediánu je posunuta směrem k dolnímu kvartilu). U čedičokevlarové pleteniny jsou data ze říkmena k nižším hodnotám (hodnota mediánu je posunuta směrem k dolnímu kvartilu). Vzorek odpovídající hodnotě označené jako vybočující nebyl z dalšího zpracování vyloučen, jelikož na něm nebyly žádné viditelné odlišnosti.

3. DISKUZE VÝSLEDKŮ

Pleteniny pro tuto práci byly zhotoveny ve dvou variantách. Čedičová pletenina byla vyrobena ze tří čedičových rovingů a čedičokevlarová pletenina ze dvou čedičových a jednoho kevlarového rovingu.

V Tab. 15 je shrnutí naměřených a vypočtených průměrných hodnot pro oba druhy pletenin. Je zde také graficky naznačen směr změny hodnot, která je způsobena přidáním kevlaru do pleteniny. Značka \nearrow označuje zvýšení a značka \searrow snížení hodnot.

Tab. 15 Souhrn naměřených a vypočtených hodnot

	průměrná hodnota pro čedičovou pleteninu	směr změny hodnot přidáním kevlaru do pleteniny	průměrná hodnota pro čedičokevlarovou pleteninu
tloušťka h [mm]	2,83	\nearrow	3,02
plošná hmotnost ρ_s [$\text{kg} \cdot \text{m}^{-2}$]	1,176	\nearrow	1,644
objemová hmotnost ρ_v [$\text{kg} \cdot \text{m}^{-3}$]	414,7	\nearrow	544,7
pórovitost p [%]	85,19	\searrow	76,66
pevnost v tahu F [GPa]	3,54	\nearrow	24,98
tažnost A [mm]	220,8	\searrow	140,6
modul pružnosti E [MPa]	23,9	\nearrow	74,8

U hodnot tloušťky dochází k jejich zvýšení přidáním kevlaru do pleteniny. Potvrzuje to předpokládané výsledky. Průměr rovingů, ze kterých byla vyrobena čedičokevlarová pletenina, byl větší než průměr rovingů z nichž byla vyrobena čedičová pletenina.

Plošná i objemová hmotnost se přidáním kevlarového rovingu do pleteniny zvýší. Tyto výsledky odpovídají odhadům vycházejícím z vlastností stupních materiálů, tedy jemností T [tex] rovingů (hodnoty viz. Tab. 2 na str. 33). Jemnost udává hmotnost materiálu v gramech na jeden kilometr jeho délky. Kevlarový roving má hodnotu

jemnosti téměř o polovinu větší než je jemnost čedičového rovingu.

Hodnoty póravitosti odpovídají textiliím vyrobeným metodou pletení. Čím je menší kontakt mezi propletenými rovingy i samotnými vlákny, tím se hodnoty póravitosti zvyšují. Nahrazením jednoho čedičového rovingu kevlarovým rovingem dochází k lepšímu vytvarování materiálu v jednotlivých očkách pleteniny. Díky tomu je u čedičokevlarové pleteniny vyšší hustota provázání a v kombinaci s větším průměrem čedičokevlarového rovingu jsou hodnoty póravitosti nižší než u čedičové pleteniny.

Výsledné hodnoty pevnosti v tahu jsou u pleteniny s kevarem vyšší. Odpovídá to výsledkům předpokládaným na základě znalosti vlastností vstupních materiálů. Obecně má kevlar vyšší pevnost než čedič, proto i pletenina vytvořená přidáním kevlaru má vyšší pevnost.

Výsledná tažnost čedičokevlarové pleteniny je menší než čedičové pleteniny, což lze předvídat již z výsledků póravitosti. Přidáním kevlaru do pleteniny vzniká pevnější struktura.

Modul pružnosti je nižší u čedičové pleteniny, protože je čedičová pletenina pružnější a má větší tažnost. Tyto hodnoty bylo možné odhadnout při pohledu na tahové křivky, které jsou u čedičokevlarové pleteniny výrazně strmější.

Při výrobě čedičových i čedičokevlarových pletenin vzniká řada problémů. Prvním je odvíjení čedičového rovingu, jelikož je dodáván v křížovém návinu bez cívky. S ubývajícími náviny dochází k borcení stěn a vzájemnému zaplétání jednotlivých ovinů. K borcení stěn také přispívá diskontinualita odběru příze při pletení na ploché pletací stroje. Tento problém je způsoben zastavením saní s pletacími zámky na každé straně pleteniny a jejich zpětnému pohybu. V mém případě byly tyto problémy řešeny asistencí Ing. Jitky Sitteové při pletení. Je ovšem dosti neefektivní, aby jedna osoba pletla pleteninu a druhá kontrolovala odvíjení rovingů. Řešením by bylo převinutí na vhodnější formu návinu. Se samotným převíjením mohou být spojeny problémy vzhledem ke křehkosti čedičových rovingů. Dalším problémem při výrobě vzorků je samotné pletení, kdy klasické ploché pletací stroje, které jsou na dostupné na TUL, nejsou uzpůsobeny k pletení z materiálu jako je čedič či kevlar. Čedičové rovingy jsou náchylné na lámání jednotlivých vláken, které může být způsobováno průchodem přes jednotlivé části stroje (vodící očka, brzdy, atd.). Odlámané části vláken zanáší všechny části pletacího stroje a je nezbytné časté čištění.

Další problémy se projevily při testování pevnosti v tahu. Výsledky mechanických testů jsou ovlivněny prokluzem materiálu v čelistech dynamometru při zatížení silou. K prokluzu docházelo u obou druhů pleteniny. Při testování čedičokevlarové pleteniny byly prokluzy větší. U těchto vzorků docházelo k přetržení pleteniny až v místě prokluzu, kde se struktura částečně narušila hrubým povrchem čelistí. U některých vzorků došlo k přetrhu až v místě spojení vzorku s pomocnou pleteninou. Prokluzy pletenin v čelistech lze pozorovat na tahových křivkách jednotlivých vzorků, které jsou umístěny v příloze na CD. Konstrukce čelistí není uzpůsobena k testování takovýchto druhů materiálů. Tomuto jevu by šlo zabránit konstrukcí přídavného zařízení, které by se dalo připevnit k dynamometru. Tento přípravek by měl být kulatého nebo oválného tvaru, aby jeho hrany nenarušovaly strukturu pleteniny. Musí být zároveň možné materiál na něj navinout a upevnit.

Pro řešení všech výše uvedených problémů by mohla být navržena další téma závěrečných prací.

4. ZÁVĚR

Tato práce se zabývala základním rozbořem pletenin s obsahem čedičových vláken a testováním jejich tahových vlastností. Zkoumané pleteniny jsou využívány jako výztuže kompozitů např. v rámci dlouhodobých projektů výzkumu kompozitních struktur na Katedře textilních materiálů.

Pro určování vlastností pletenin byly použity kalibrované přístroje (analytické váhy, tloušťkoměr, dynamometr) a dodrženy podmínky stanovené v normách příslušných k jednotlivým zkouškám.

Při zkoumání struktury pleteniny byl řešen problém s nesoudržností struktury po jejím narušení, například stříháním. Výsledkem bylo pletení vzorků konkrétních rozměrů pro testování pevnosti v tahu. Z důvodu technických možností použitého pletacího stroje není možné vytvářet vzorky o velikosti pouze několika centimetrů nebo tvarované. Celková příprava vzorků je velice časově náročná a to nejen z hlediska komplikací při samotném pletení. Po sejmutí vzorku ze stroje je nezbytné nechat pleteninu volně relaxovat. Doba relaxace je minimálně týden. Pokud by se tento krok vynechal, zbytky vnitřní deformační energie by značně ovlivnily výsledky testů.

V průběhu testování pevnosti v tahu se projevil problém vlivu upínacích čelistí dynamometru na testovaný materiál. Důvodem zmíněných problémů je, že čelisti jsou konstruovány pouze pro testování běžných textilních materiálů. V diskuzi k výsledkům této práce byl navrhnut možný směr řešení tohoto problému.

Vytyčené cíle této práce byly splněny. Byly provedeny základní rozbor pletenin a zjištěny jejich tahové charakteristiky. Vlastnosti čedičových pletenin se výrazně mění přidáním jiného materiálu a tím se rozšiřuje možnost použití těchto pletenin do různých technických produktů. V případě této bakalářské práce mělo přidání kevlaru do čedičové pleteniny nejvýznamnější vliv na zvýšení pevnosti celé pleteniny v tahu.

Literatura

- [1] Kovář, R.: Pletení, Technická univerzita v Liberci, 1997
- [2] Dostalová, M., Křivánková, M.: Základy textilní a oděvní výroby, Technická univerzita v Liberci, 2004
- [3] Kovačič, V.: Textilní zkušebnictví I. II., Technická univerzita v Liberci, 2004
- [4] galerie fotografií, dostupné na http://fotky.hln.cz/kamenicky-senov/img_3650
- [5] Militký, J.: presentace k předmětu Speciální vlákna, Liberec 2005, dostupná na [https://skripta.ft.tul.cz/databaze/list_pre.cgi?predmet=233&skripta=29&pro=\(aktuální k 13.11.2010\)](https://skripta.ft.tul.cz/databaze/list_pre.cgi?predmet=233&skripta=29&pro=(aktuální%20k%2013.11.2010))
- [6] Lehner, J.: Skleněná, horninová a strusková vlákna, SNTL Praha 1960
- [7] Militký, J.: Textilní vlákna : klasická a speciální, Liberec: Technická univerzita v Liberci, 2002
- [8] Basalt Fiber & Composite Materials Technology Development Co., dostupné na <http://www.basaltn.com/eng/fiber/technology.html> (aktuální k 5.3.2011)
- [9] Tomková, B.: Přednášky z předmětu Kompozity s textilní výztuží, dostupné na [https://skripta.ft.tul.cz/databaze/list_pre.cgi?predmet=65&skripta=44&pro=\(aktuální k 4.1.2011\)](https://skripta.ft.tul.cz/databaze/list_pre.cgi?predmet=65&skripta=44&pro=(aktuální%20k%204.1.2011))
- [10] společnost Basaltex a.s., dostupné na http://www.basaltex.cz/cedic/cedic_charakteristika_cz.htm (aktuální k 3.3.2011)
- [11] bezpečnostní list firmy Du Pont pro Kevlar, dostupný na http://msds.dupont.com/msds/pdfs/EN/PEN_09004a35803a3be9.pdf (aktuální k 18.3.2011)
- [12] Meloun, M., Militký, J.: Statistické zpracování experimentálních dat PLUS Praha 1994
- [13] firma Kamenný vek, dostupné na <http://www.basfiber.com/> (aktuální k datu 20.3.2011)
- [14] firma Du Pont, dostupné na http://www2.dupont.com/Kevlar/en_US/products/fibers/fiber.html (aktuální k datu 20.3.2011)

Seznam obrázků

Obr. 1 Základní strukturální prvky pletenin [1].....	12
Obr. 2 Základní vazby zátažných pletenin [1, 2].....	13
Obr. 3 Jednolící pletenina s přímým kladením- řetízek [2]	14
Obr. 4 Osnovní oboulící pletenina [2]	14
Obr. 5 Délka očka pleteniny. [3].....	18
Obr. 6 Čedičové „varhany“ u Kamenického Šenova [4].....	21
Obr. 7 Schéma výroby čedičových vláken [8].....	22
Obr. 8 Lomová plocha čedičového vlákna	23
Obr. 9 Strukturální vzorec Kevlaru [7]	24
Obr. 10 Schéma výroby kevlarových vláken (metoda „dry-jet-wet“) [7]	24
Obr. 11 Deformační křivka [3]	28
Obr. 12 Konstrukce tečny k deformační křivce v jejím počátku [3]	30
Obr. 13 Deformační práce [3].....	30
Obr. 14 Destrukce struktury pleteniny po mechanickém zásahu (stříhání).....	31
Obr. 15 Zátažná oboulící pletenina [1]	33
Obr. 16 Čedičový (vlevo) a kevlarový (vpravo) roving [13,14].....	33
Obr. 17 Čedičová pletenina	36
Obr. 18 Čedičokevlarová pleteniny	36
Obr. 19 Zhotovený vzorek čedičové pleteniny	36
Obr. 20 Měření tloušťky	37
Obr. 21 Porovnávací graf tloušťky čedičové a čedičokevlarové pleteniny	38
Obr. 22 Krabicové grafy tloušťky.....	38
Obr. 23 Porovnávací graf plošné hmotnosti čedičové a čedičokevlarové pleteniny	40
Obr. 24 Krabicové grafy plošné hmotnosti.....	40
Obr. 25 Porovnávací graf objemové hmotnosti čedičové a čedičokevlarové pleteniny .	41
Obr. 26 Krabicové grafy objemové hmotnosti	41
Obr. 27 Porovnávací graf pórovitosti čedičové a čedičokevlarové pleteniny	43
Obr. 28 Krabicové grafy pórovitosti.....	43
Obr. 29 Zkušební přístroj TIRA test 2300 (vlevo), upnutí zkoušeného vzorku (vpravo)	
.....	44

Obr. 30 Vyčnívající konečky popraskaného čedičového rovingu v čedičokevlarové pletenině	45
Obr. 31 Porovnávací graf pevnosti v tahu čedičové a čedičokevlarové pleteniny	47
Obr. 32 Krabicové grafy pevnosti v tahu.....	47
Obr. 33 Krabicový graf pevnosti v tahu čedičové pleteniny	47
Obr. 34 Porovnávací graf tažnosti čedičové a čedičokevlarové pleteniny	49
Obr. 35 Krabicové grafy tažnosti.....	49
Obr. 36 Porovnávací graf modulu pružnosti čedičové a čedičokevlarové pleteniny.....	51
Obr. 37 Krabicové grafy modulu pružnosti	51

Seznam tabulek

Tab. 1 Vlastnosti kevlarových a čedičových vláken [5, 6, 7,9]	26
Tab. 2 Informace o materiálech od výrobce	33
Tab. 3 Základní parametry relaxované pleteniny	34
Tab. 4 Průměrné hodnoty spletení a stupně spletení	34
Tab. 5 Průměrné hodnoty délky nitě v očku, průměrů přízí a koeficient hustoty	35
Tab. 6 Použité materiály a vazba pro výrobu vzorků	35
Tab. 7 Zpracování hodnot tloušťky	37
Tab. 8 Zpracování hodnot plošné hmotnosti	39
Tab. 9 Zpracování hodnot objemové hmotnosti	39
Tab. 10 Hodnoty obsahů jednotlivých komponent čedičokevlarové pleteniny	42
Tab. 11 Zpracování hodnot pórovitosti čedičové a čedičokevlarové pleteniny	42
Tab. 12 Zpracování hodnot poměrné pevnosti čedičové a čedičokevlarové pleteniny ..	46
Tab. 13 Zpracování hodnot tažnosti čedičové a čedičokevlarové pleteniny	48
Tab. 14 Zpracování hodnot modulu pružnosti čedičové čedičokevlarové pleteniny	50
Tab. 15 Souhrn naměřených a vypočtených hodnot.....	53

Seznam příloh

A - Tabulky

- Tab. A1 Hodnoty tloušťky čedičové pleteniny
- Tab. A2 Hodnoty tloušťky čedičo kevlarové pleteniny
- Tab. A3 Rozměry a hmotnosti vzorků čedičové pleteniny
- Tab. A4 Rozměry a hmotnosti vzorků čedičo kevlarové pleteniny
- Tab. A5 Pórovitost čedičové a čedičo kevlarové pleteniny
- Tab. A6 Pevnost v tahu čedičové a čedičo kevlarové pleteniny
- Tab. A7 Tažnost čedičové a čedičo kevlarové pleteniny
- Tab. A8 Modul pružnosti čedičové a čedičo kevlarové pleteniny

B - Obrázky - grafy

- Obr. B1 Graf dat tloušťky čedičové pleteniny
- Obr. B2 Graf dat tloušťky čedičo kevlarové pleteniny
- Obr. B3 Graf dat plošné hmotnosti čedičové pleteniny
- Obr. B4 Graf dat plošné hmotnosti čedičo kevlarové pleteniny
- Obr. B5 Graf dat objemové měrné hmotnosti čedičové pleteniny
- Obr. B6 Graf dat objemové měrné hmotnosti čedičo kevlarové pleteniny
- Obr. B7 Graf dat pórovitosti čedičové pleteniny
- Obr. B8 Graf dat pórovitosti čedičo kevlarové pleteniny
- Obr. B9 Graf dat pevnosti v tahu čedičové pleteniny
- Obr. B10 Graf dat pevnosti v tahu čedičo kevlarové pletniny
- Obr. B11 Graf dat tažnosti čedičové pleteniny
- Obr. B12 Graf dat tažnosti čedičo kevlarové pleteniny
- Obr. B13 Graf dat modulu pružnosti čedičové pleteniny
- Obr. B14 Graf dat modulu pružnosti čedičo kevlarové pleteniny
- Obr. B15 Tahová křivka čedičové pleteniny vzorek č. 1.
- Obr. B16 Tahová křivka čedičové pleteniny vzorek č. 2.
- Obr. B17 Tahová křivka čedičové pleteniny vzorek č. 3.
- Obr. B18 Tahová křivka čedičové pleteniny vzorek č. 4.

- Obr. B19 Tahová křivka čedičové pleteniny vzorek č. 5.
- Obr. B20 Tahová křivka čedičové pleteniny vzorek č. 6.
- Obr. B21 Tahová křivka čedičové pleteniny vzorek č. 7.
- Obr. B22 Tahová křivka čedičové pleteniny vzorek č. 8.
- Obr. B23 Tahová křivka čedičové pleteniny vzorek č. 9.
- Obr. B24 Tahová křivka čedičové pleteniny vzorek č. 10.
- Obr. B25 Tahová křivka čedičo kevlarové pleteniny vzorek č. 1.
- Obr. B26 Tahová křivka čedičo kevlarové pleteniny vzorek č. 2.
- Obr. B27 Tahová křivka čedičo kevlarové pleteniny vzorek č. 3.
- Obr. B28 Tahová křivka čedičo kevlarové pleteniny vzorek č. 4.
- Obr. B29 Tahová křivka čedičo kevlarové pleteniny vzorek č. 5.
- Obr. B30 Tahová křivka čedičo kevlarové pleteniny vzorek č. 6.
- Obr. B31 Tahová křivka čedičo kevlarové pleteniny vzorek č. 7.
- Obr. B32 Tahová křivka čedičo kevlarové pleteniny vzorek č. 8.
- Obr. B33 Tahová křivka čedičo kevlarové pleteniny vzorek č. 9.
- Obr. B34 Tahová křivka čedičo kevlarové pleteniny vzorek č. 10.

Přílohy

A Tabulky

Tab. A1 Hodnoty tloušťky čedičové pleteniny

vzorek č.	měření č. 1. h[mm]	měření č. 2. h[mm]	měření č. 3. h[mm]	ϕ h[mm]
1.	2,81	2,84	2,80	2,82
2.	2,84	2,84	2,84	2,84
3.	2,87	2,84	2,83	2,85
4.	2,78	2,83	2,90	2,84
5.	2,81	2,84	2,83	2,83
6.	2,84	2,90	2,83	2,86
7.	2,84	2,81	2,81	2,82
8.	2,86	2,88	2,90	2,88
9.	2,81	2,79	2,79	2,80
10.	2,83	2,81	2,82	2,82

Tab. A2 Hodnoty tloušťky čedičokevlarové pleteniny

vzorek č.	měření č. 1. h [mm]	měření č. 2. h [mm]	měření č. 3. h [mm]	ϕ h[mm]
1.	3,12	3,00	2,94	3,02
2.	3,08	3,01	3,02	3,04
3.	2,98	2,87	2,92	2,92
4.	3,13	2,97	3,23	3,11
5.	3,10	3,14	2,96	3,07
6.	2,99	3,00	3,19	3,06
7.	3,18	2,92	2,94	3,01
8.	2,89	2,83	2,90	2,87
9.	3,10	2,98	3,00	3,03
10.	2,96	3,13	3,08	3,06

Tab. A3 Rozměry a hmotnosti vzorků čedičové pleteniny

délka l [mm], šířka b [mm], hmotnost m [g], vypočtená plošná hmotnost ρ_s [$\text{kg} \cdot \text{m}^{-2}$], objemová měrná hmotnost ρ_v [$\text{kg} \cdot \text{m}^{-3}$]

vzorek č.	l [mm]	b [mm]	hmotnost vzorku m [g]	plošná hmotnost ρ_s [$\text{kg} \cdot \text{m}^{-2}$]	objemová měrná hmotnost ρ_v [$\text{kg} \cdot \text{m}^{-3}$]
1.	260	57	17,223	1,162	412,1
2.	256	55	16,968	1,205	424,3
3.	262	56	17,325	1,181	414,3
4.	250	57	16,940	1,189	418,6
5.	260	56	17,286	1,187	419,5
6.	258	58	17,304	1,156	404,3
7.	259	57	16,983	1,150	407,9
8.	260	57	17,331	1,169	406,1
9.	260	56	17,050	1,171	418,2
10.	255	56	16,974	1,189	421,5

Tab. A4 Rozměry a hmotnosti vzorků čedičokevlarové pleteniny

délka l [mm], šířka b [mm], hmotnost m [g], vypočtená plošná hmotnost ρ_s [$\text{kg} \cdot \text{m}^{-2}$], objemová měrná hmotnost ρ_v [$\text{kg} \cdot \text{m}^{-3}$]

vzorek č.	l [mm]	b [mm]	hmotnost vzorku m [g]	plošná hmotnost ρ_s [$\text{kg} \cdot \text{m}^{-2}$]	objemová měrná hmotnost ρ_v [$\text{kg} \cdot \text{m}^{-3}$]
1.	303	50	24,487	1,616	535,2
2.	300	53	26,578	1,672	549,9
3.	299	50	24,700	1,652	565,8
4.	300	53	25,556	1,607	516,8
5.	300	51	25,386	1,659	540,5
6.	290	50	24,419	1,684	550,4
7.	297	51	24,623	1,626	540,1
8.	344	50	27,653	1,608	560,2
9.	305	50	25,419	1,667	550,1
10.	288	50	23,697	1,646	537,8

Tab. A5 Pórovitost čedičové a čedičokevlarové pleteniny

vzorek č.	pórovitost p [%] čedič	pórovitost p [%] čedič/kevlar
1.	85,3	77,1
2.	84,8	76,4
3.	85,2	75,8
4.	85,1	77,9
5.	85,0	76,8
6.	85,6	76,4
7.	85,4	76,9
8.	85,5	76,0
9.	85,1	76,4
10.	84,9	77,0

Tab. A6 Pevnost v tahu čedičové a čedičokevlarové pleteniny

vzorek č.	F_{\max} [N] čedič	F_{\max} [N] čedič/kevlar	F_{\max} [GPa] čedič	F_{\max} [GPa] čedič/kevlar
1.	509,47	4788,37	3,62	31,71
2.	587,53	2972,41	4,14	19,58
3.	472,29	4024,98	3,32	27,54
4.	493,65	3856,83	3,48	24,80
5.	467,27	3598,89	3,31	23,47
6.	500,83	3223,40	3,51	21,07
7.	531,30	3102,92	3,77	20,59
8.	518,49	2857,41	3,60	19,89
9.	573,02	4927,13	4,10	32,56
10.	358,75	4373,93	2,54	28,62

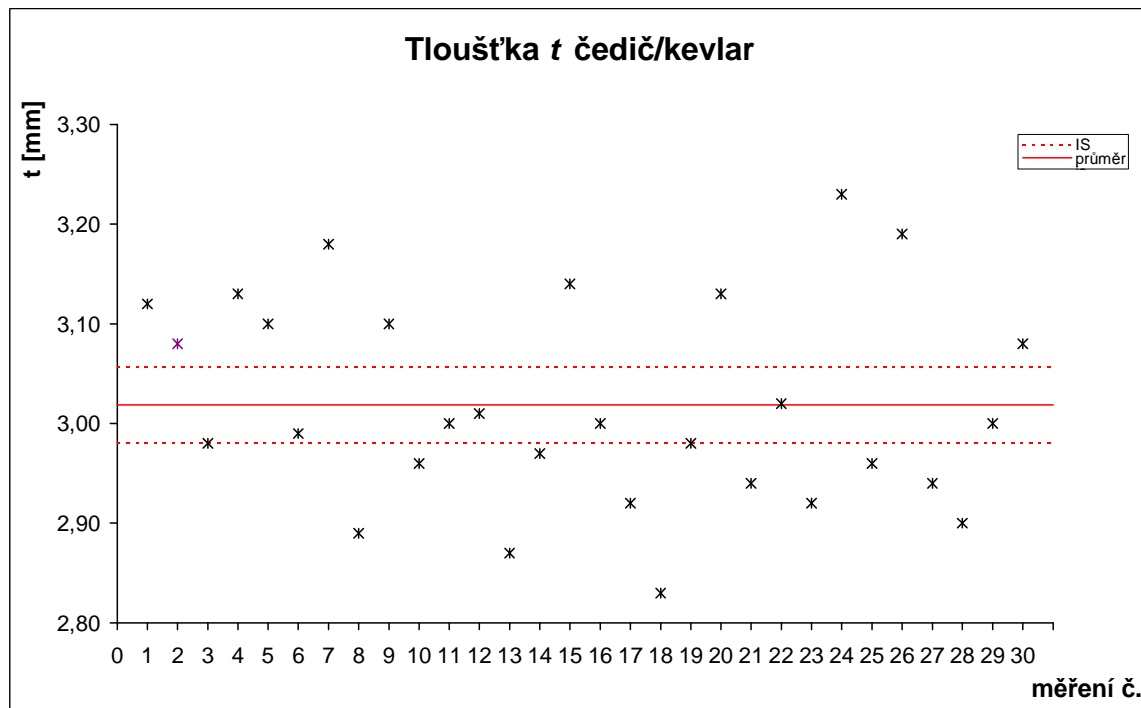
Tab. A7 Tažnost čedičové a čedičo kevlarové pleteniny

vzorek č.	tažnost A [mm] čedič	deformace A [mm] čedič/kevlar
1.	214,8	168,3
2.	219,2	143,2
3.	211,8	129,4
4.	224,1	152,3
5.	223,6	144,8
6.	226,2	120,1
7.	229,5	128,6
8.	221,2	124,1
9.	219,5	158,4
10.	218,2	136,7

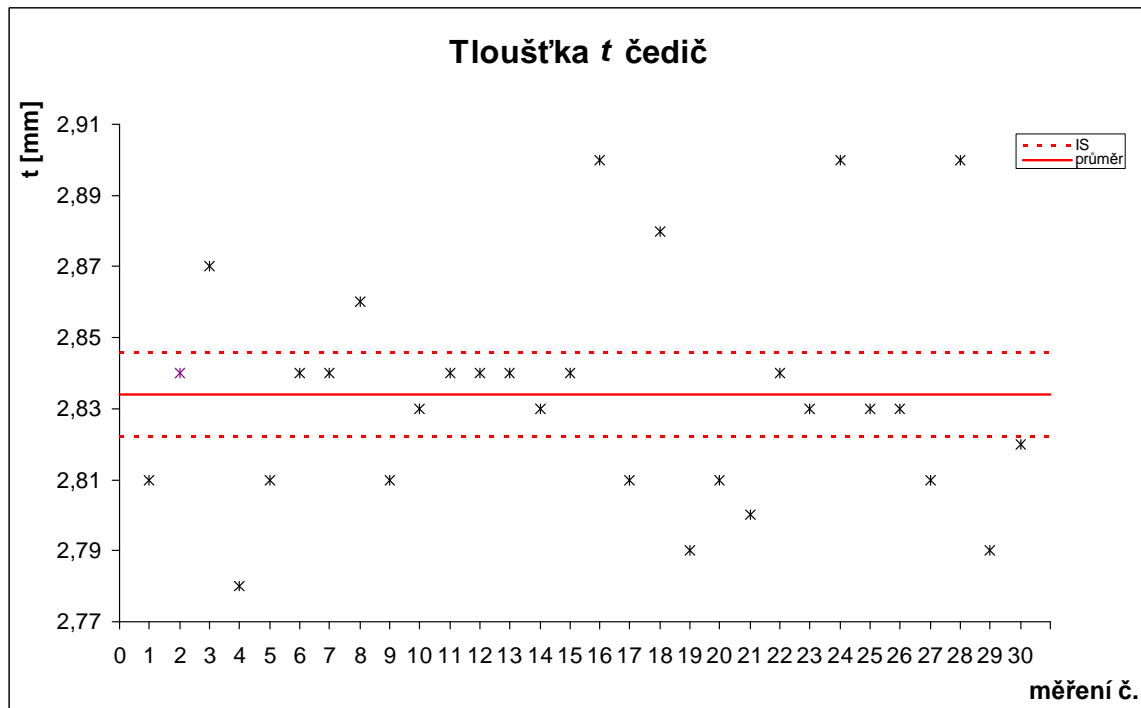
Tab. A8 Modul pružnosti čedičové a čedičo kevlarové pleteniny

vzorek č.	modul pružnosti E [MPa] čedič	modul pružnosti E [MPa] čedič/kevlar
1.	29,2	88,4
2.	23,7	72,9
3.	24,4	72,4
4.	24,0	70,9
5.	16,5	76,2
6.	23,7	68,1
7.	21,5	66,6
8.	26,3	58,5
9.	26,4	85,5
10.	23,8	88,6

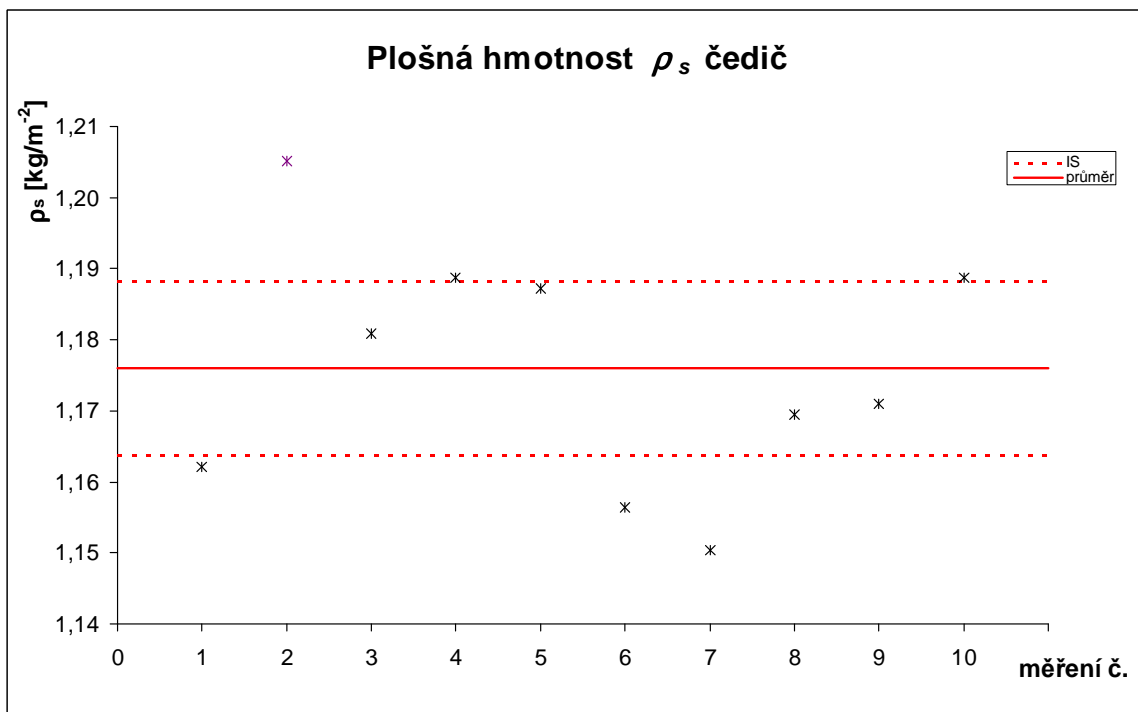
B Obrázky - grafy



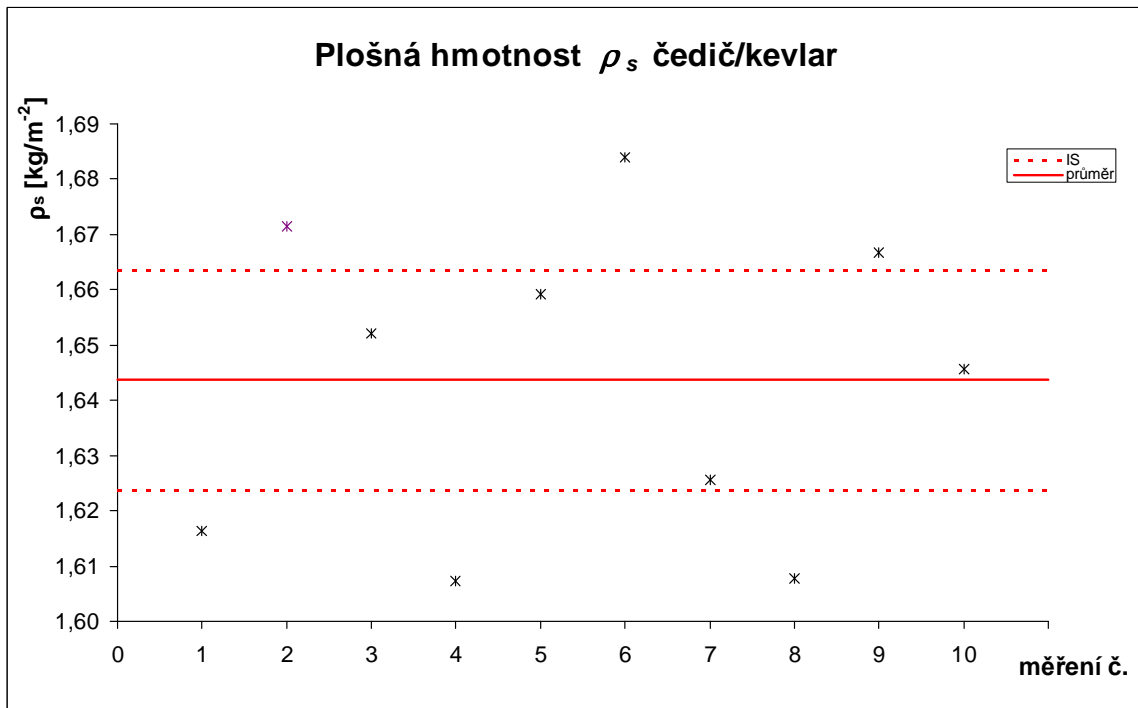
Obr. B1 Graf dat tloušťky čedičové pleteniny



Obr. B2 Graf dat tloušťky čedičokevlarové pleteniny



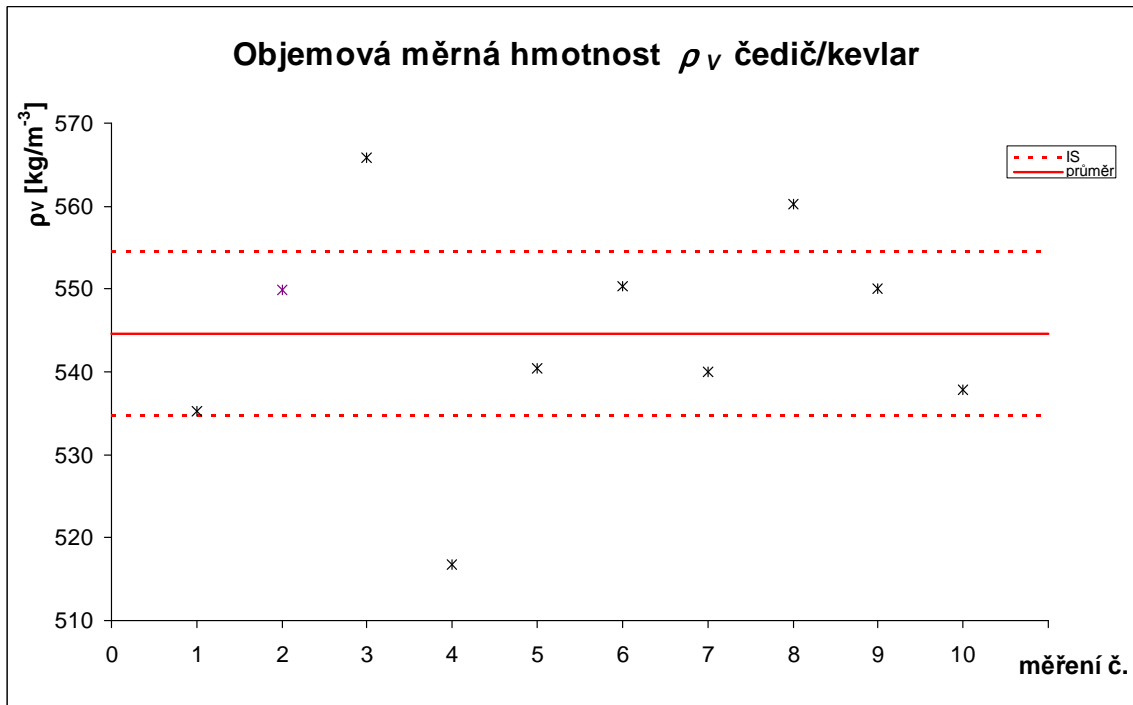
Obr. B3 Graf dat plošné hmotnosti čedičové pleteniny



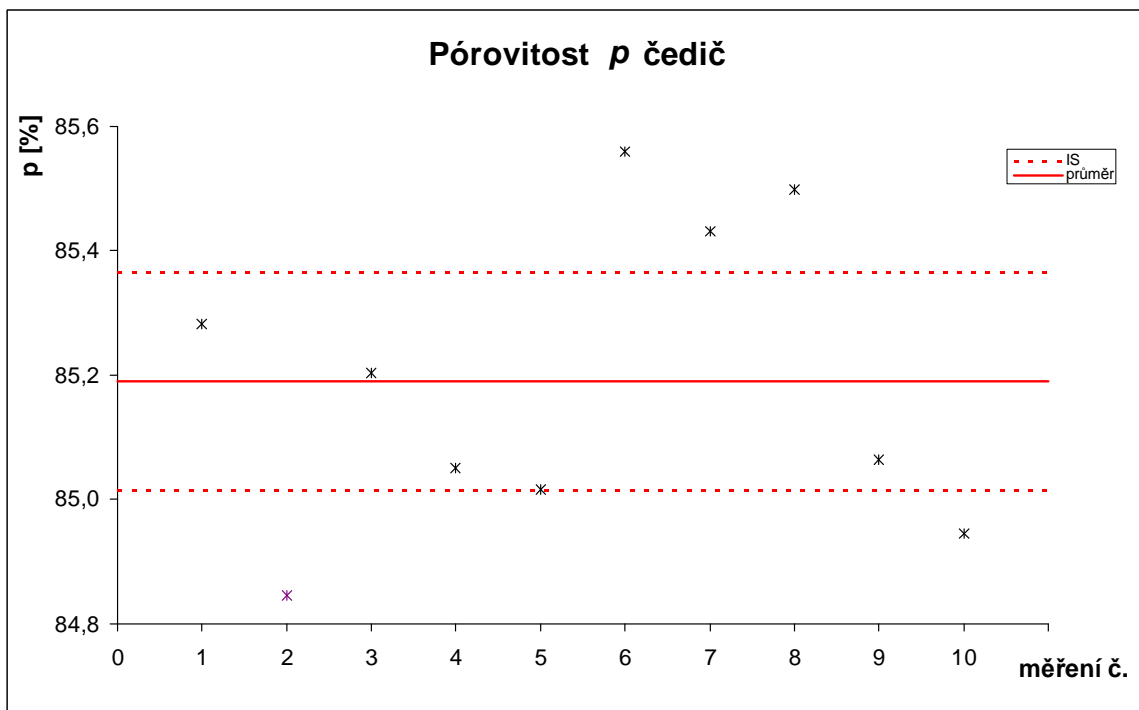
Obr. B4 Graf dat plošné hmotnosti čedičokevlarové pleteniny



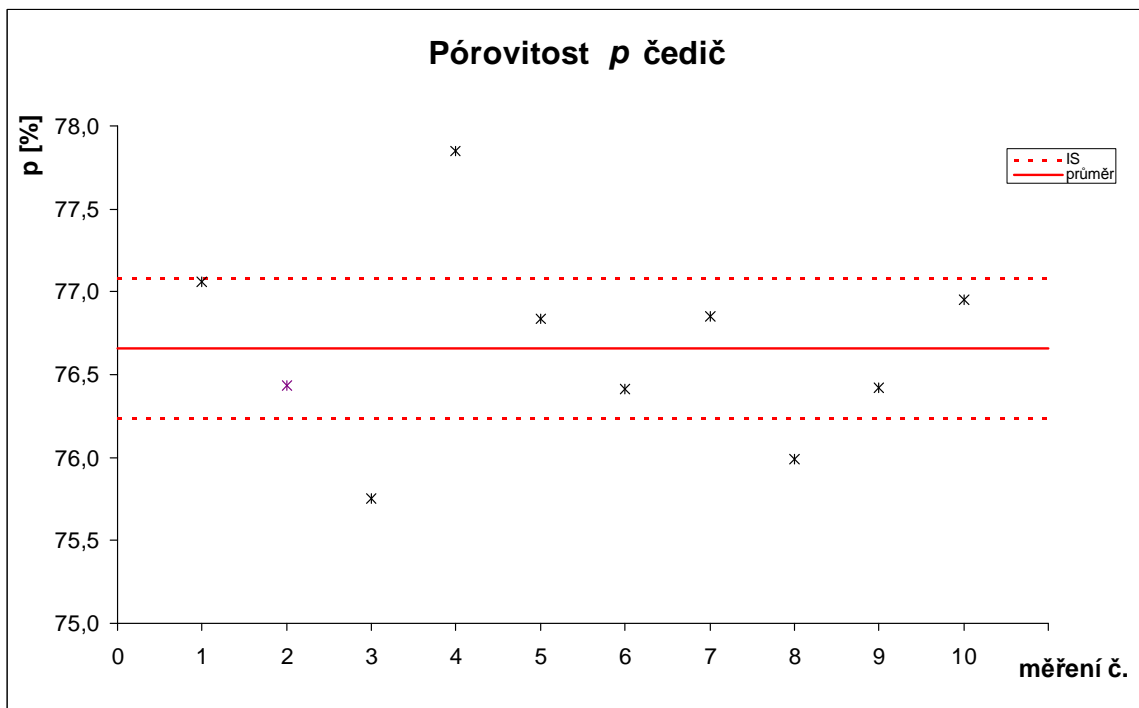
Obr. B5 Graf dat objemové měrné hmotnosti čedičové pleteniny



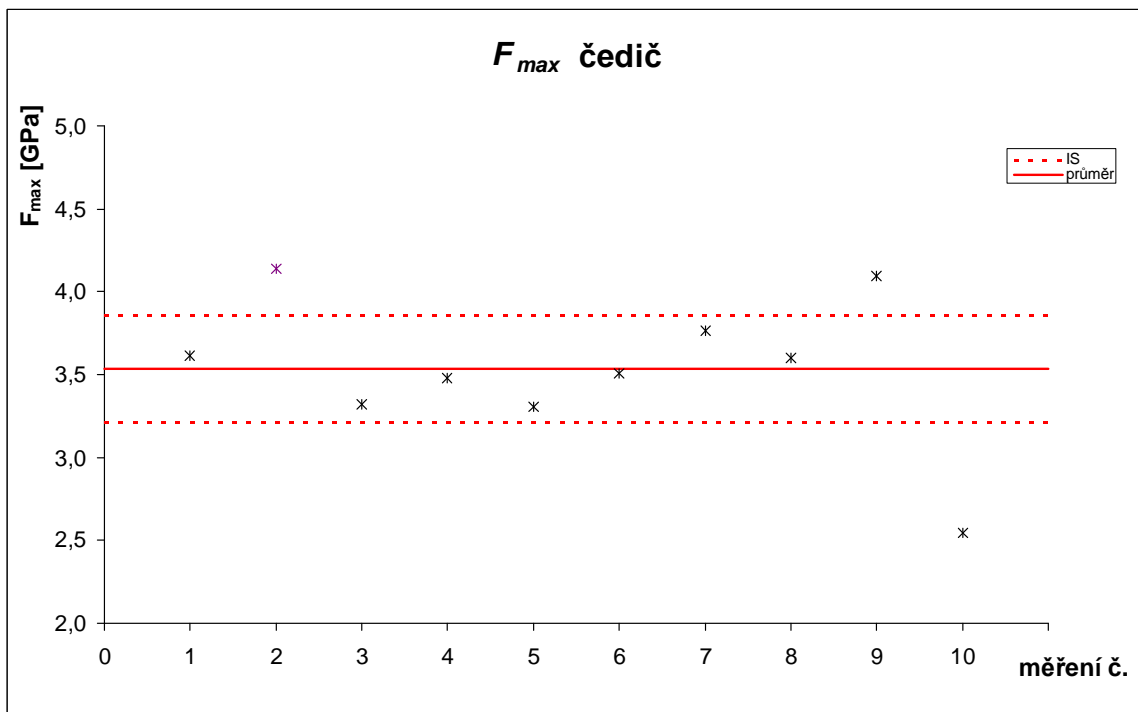
Obr. B6 Graf dat objemové měrné hmotnosti čedičokevlarové pleteniny



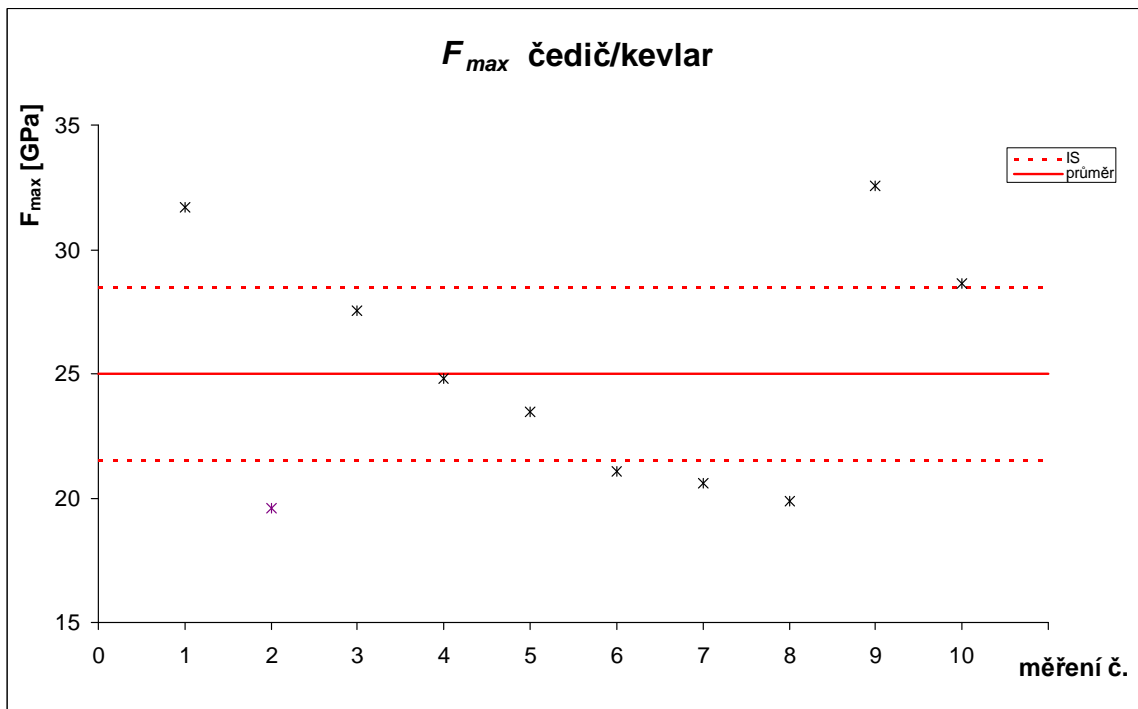
Obr. B7 Graf dat pórovitosti čedičové pleteniny



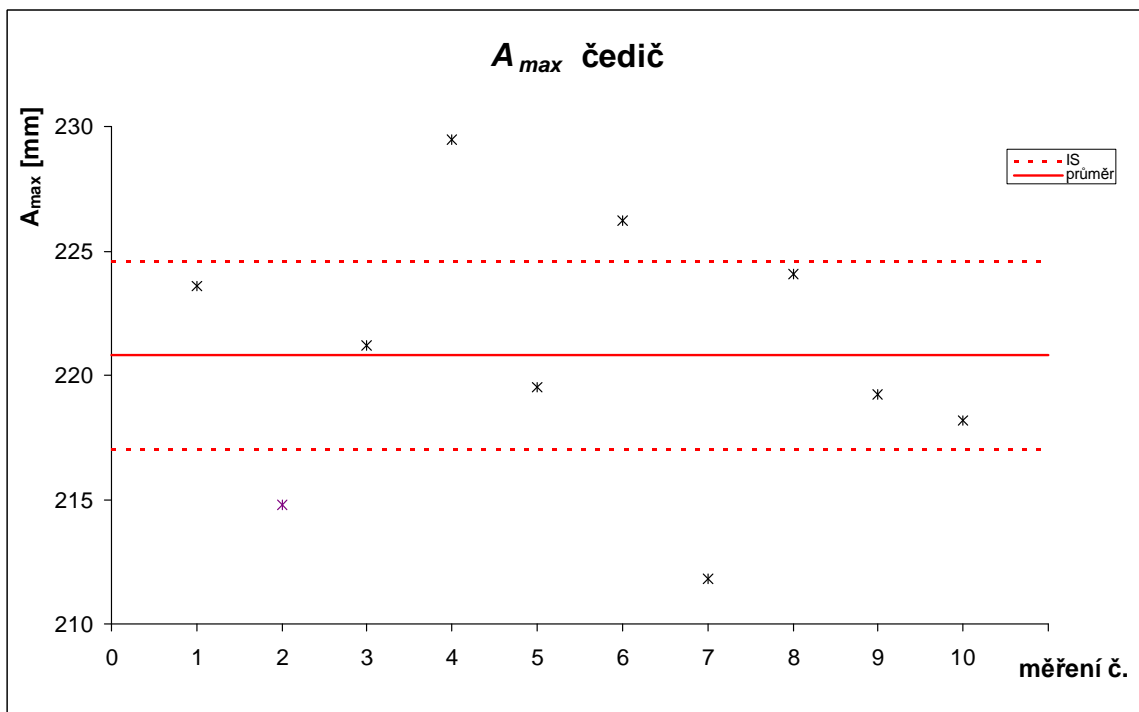
Obr. B8 Graf dat pórovitosti čedičokevlarové pleteniny



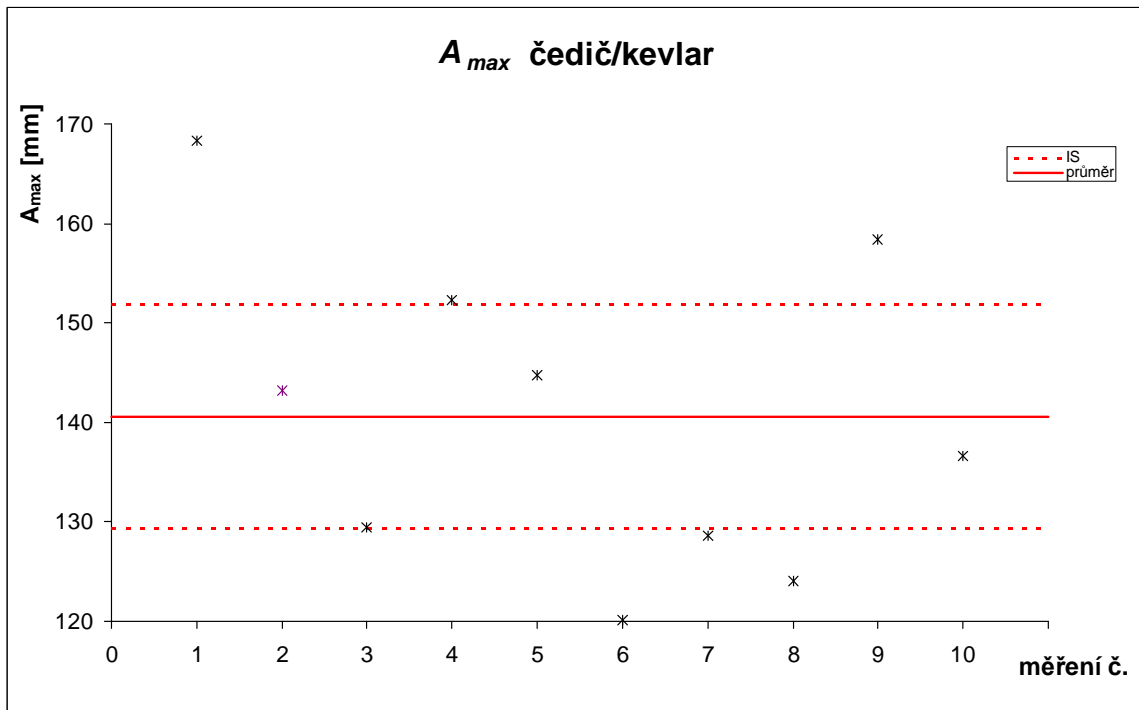
Obr. B9 Graf dat pevnosti v tahu čedičové pleteniny



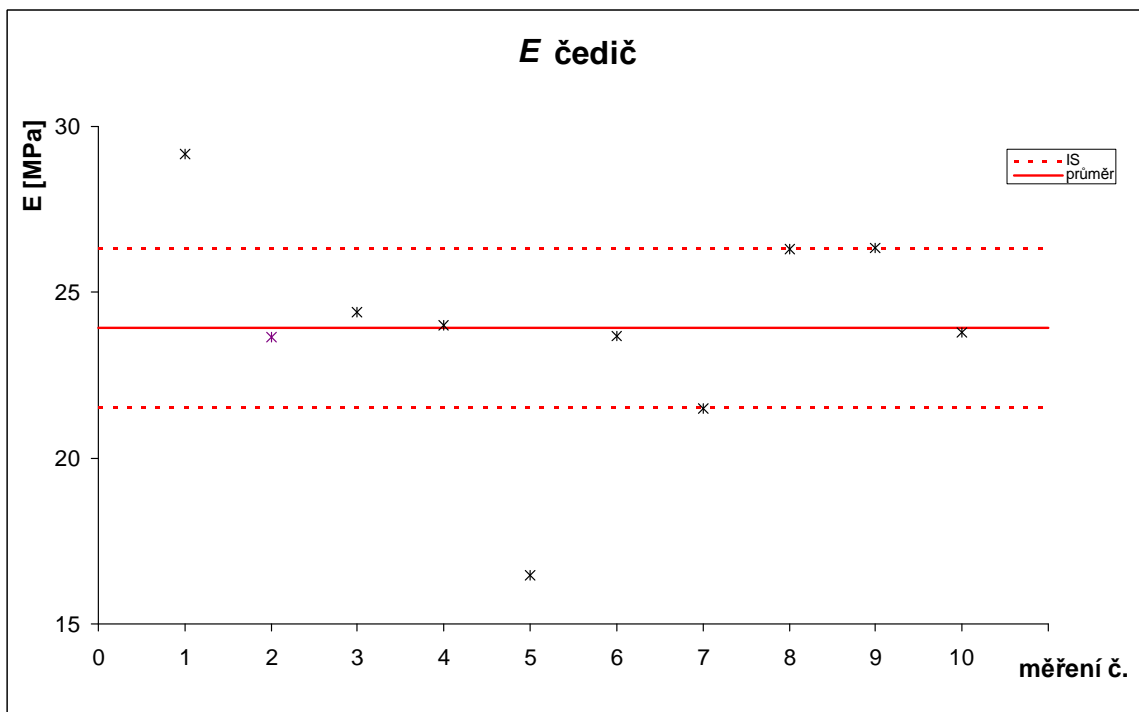
Obr. B10 Graf dat pevnosti v tahu čedičokevlarové pleteniny



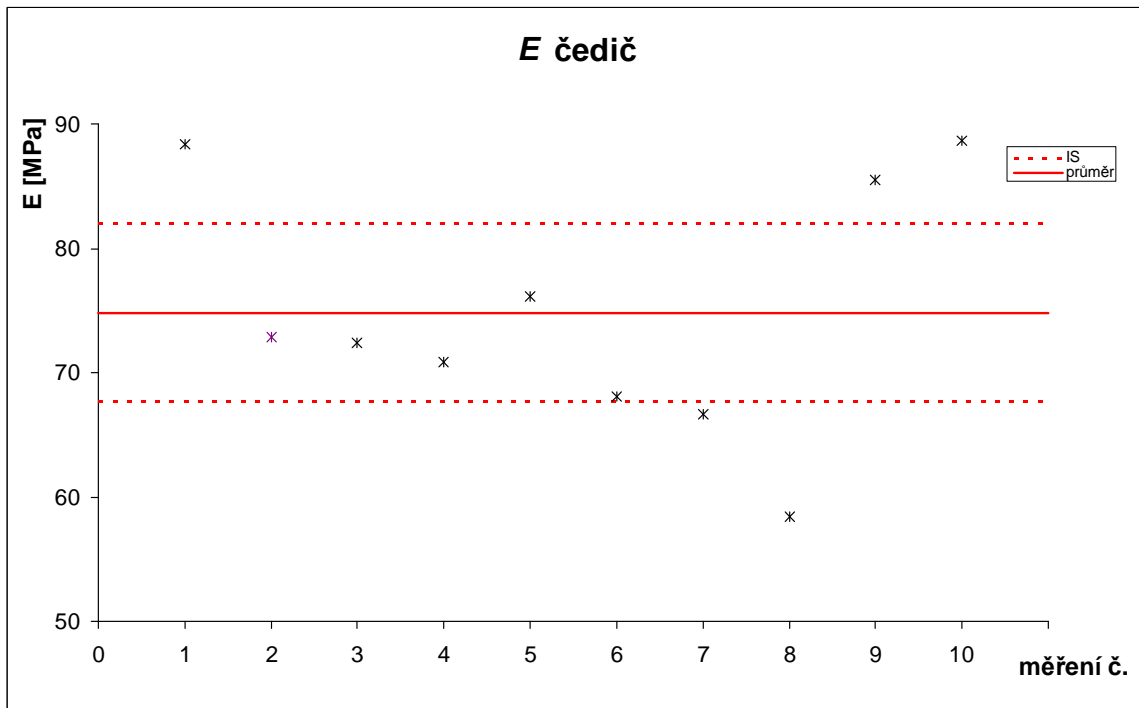
Obr. B11 Graf dat tažnosti čedičové pleteniny



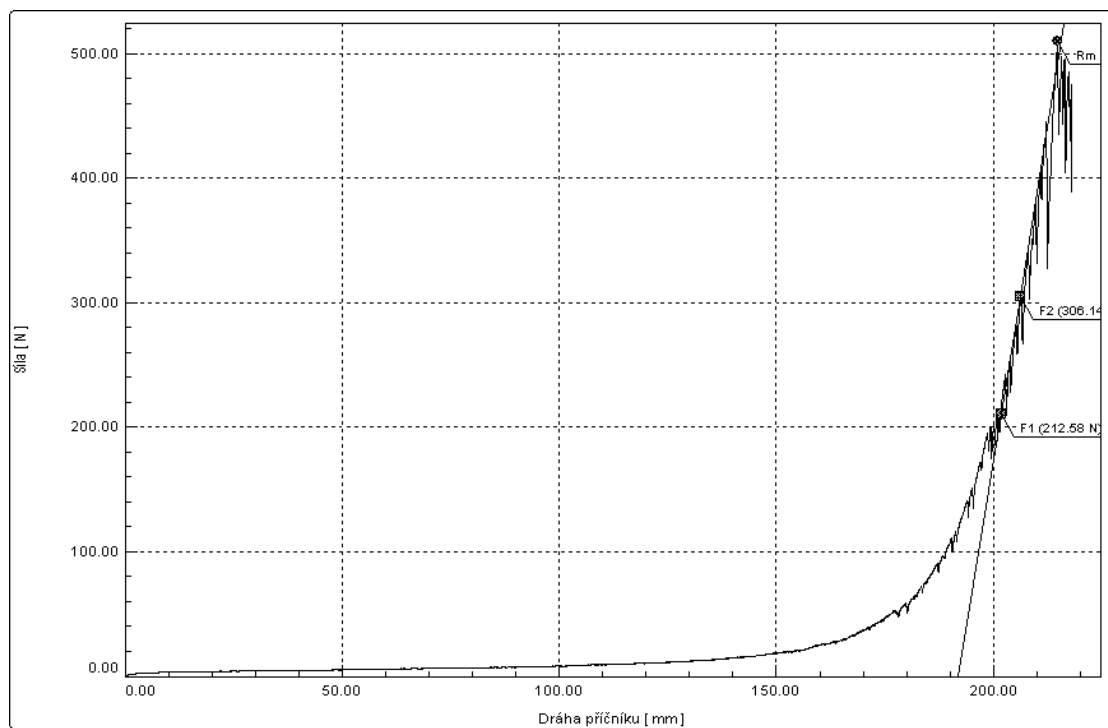
Obr. B12 Graf dat tažnosti čedičokevlarové pleteniny



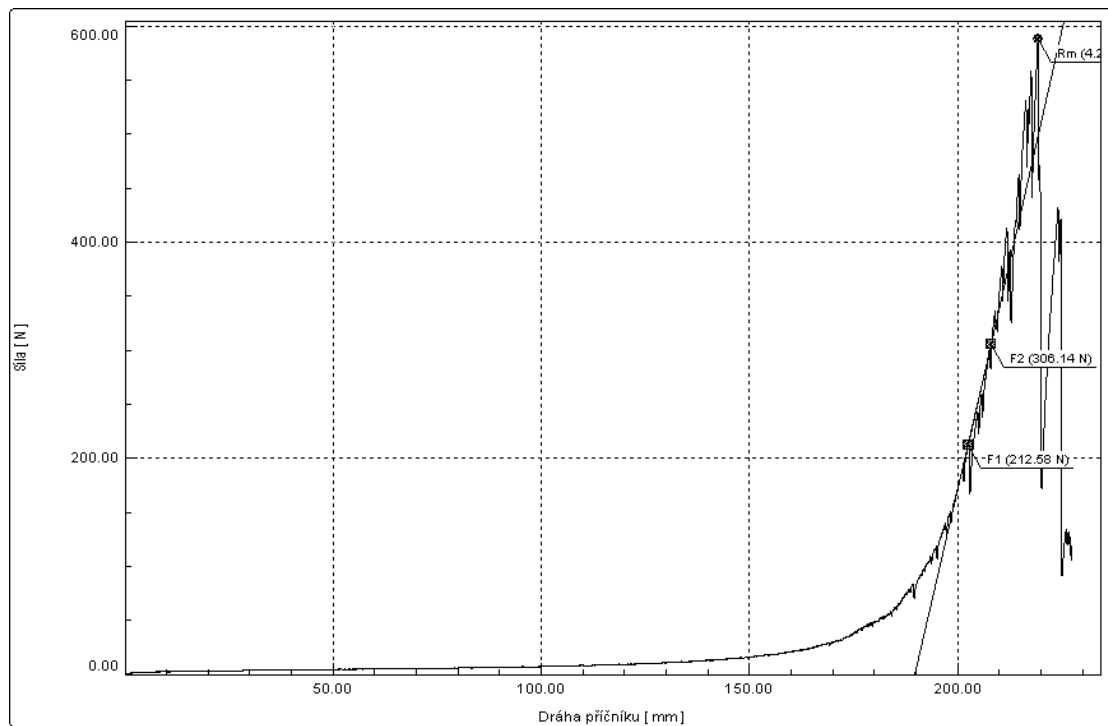
Obr. B13 Graf dat pružnosti čedičové pleteniny



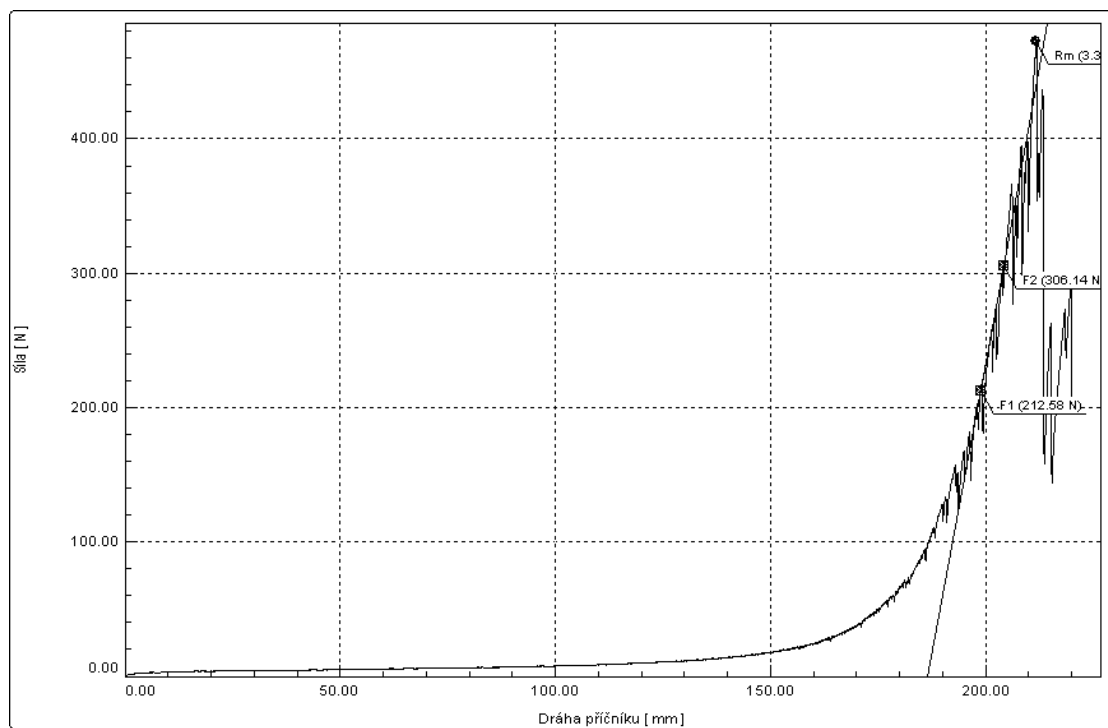
Obr. B14 Graf dat pružnosti čedičo kevlarové pleteniny



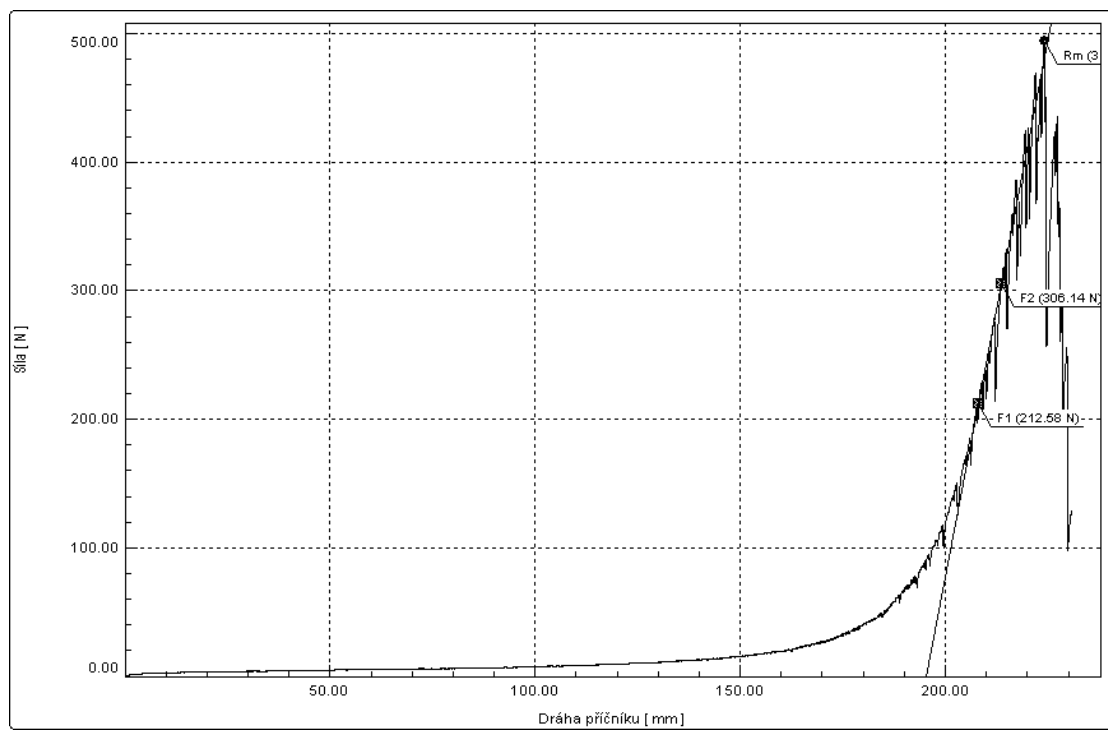
Obr. B15 Tahová křivka čedičové pleteniny vzorek č. 1.



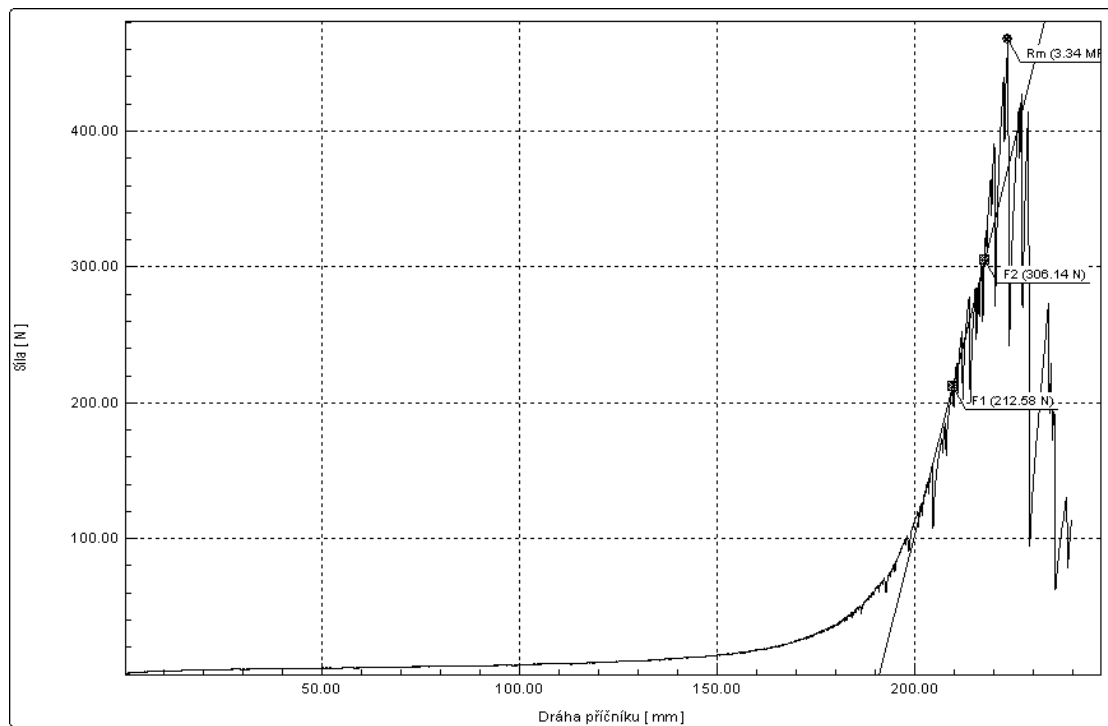
Obr. B16 Tahová křivka čedičové pleteniny vzorek č. 2.



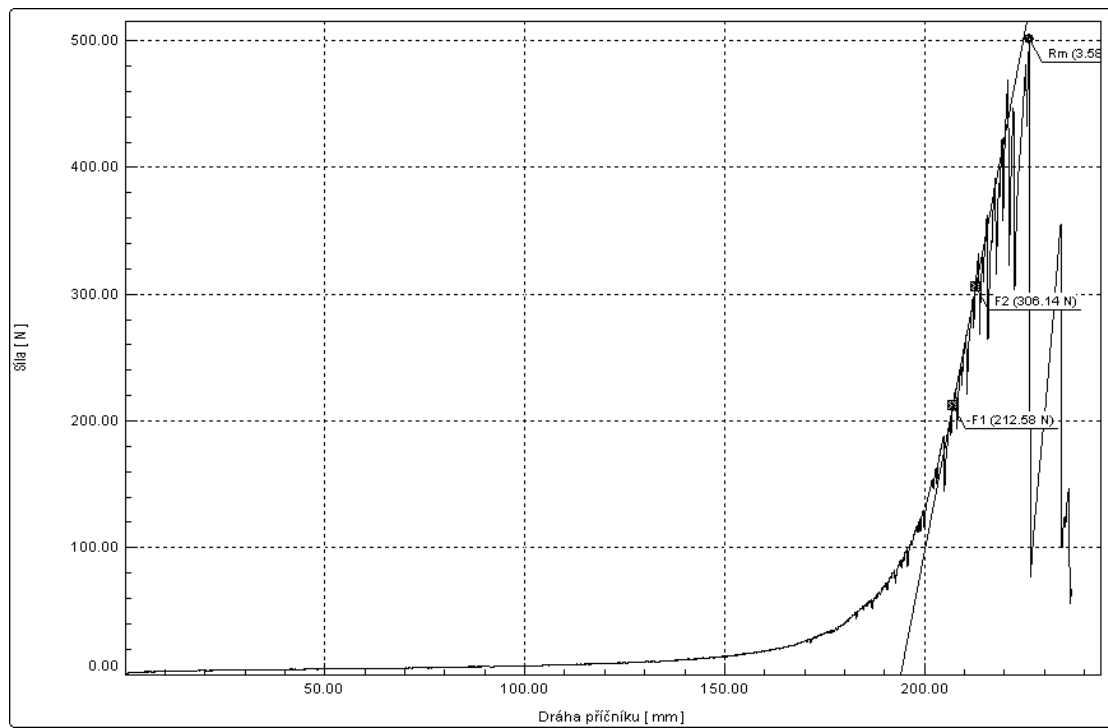
Obr. B17 Tahová křivka čedičové pleteniny vzorek č. 3.



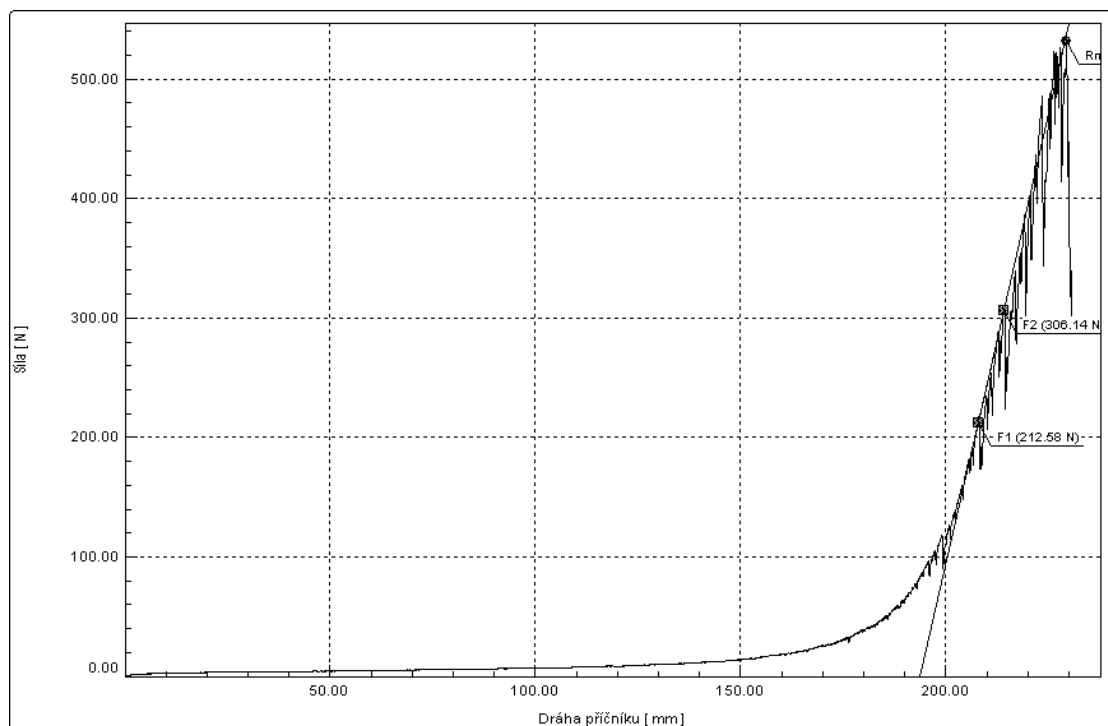
Obr. B18 Tahová křivka čedičové pleteniny vzorek č. 4.



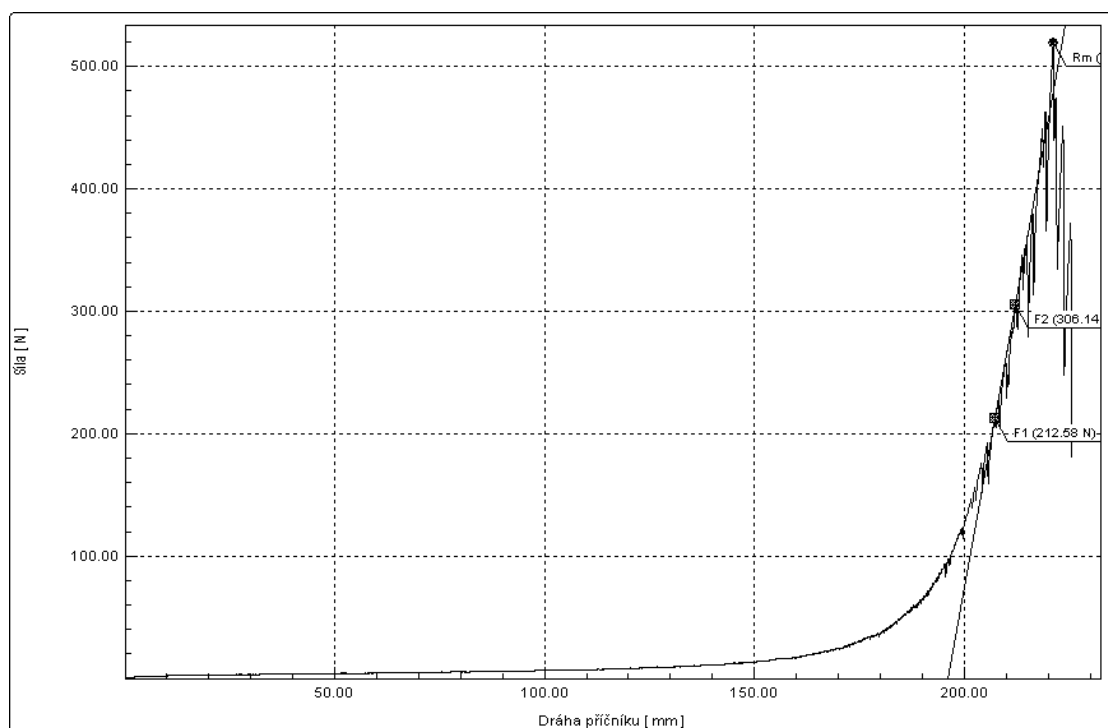
Obr. B19 Tahová křivka čedičové pleteniny vzorek č. 5.



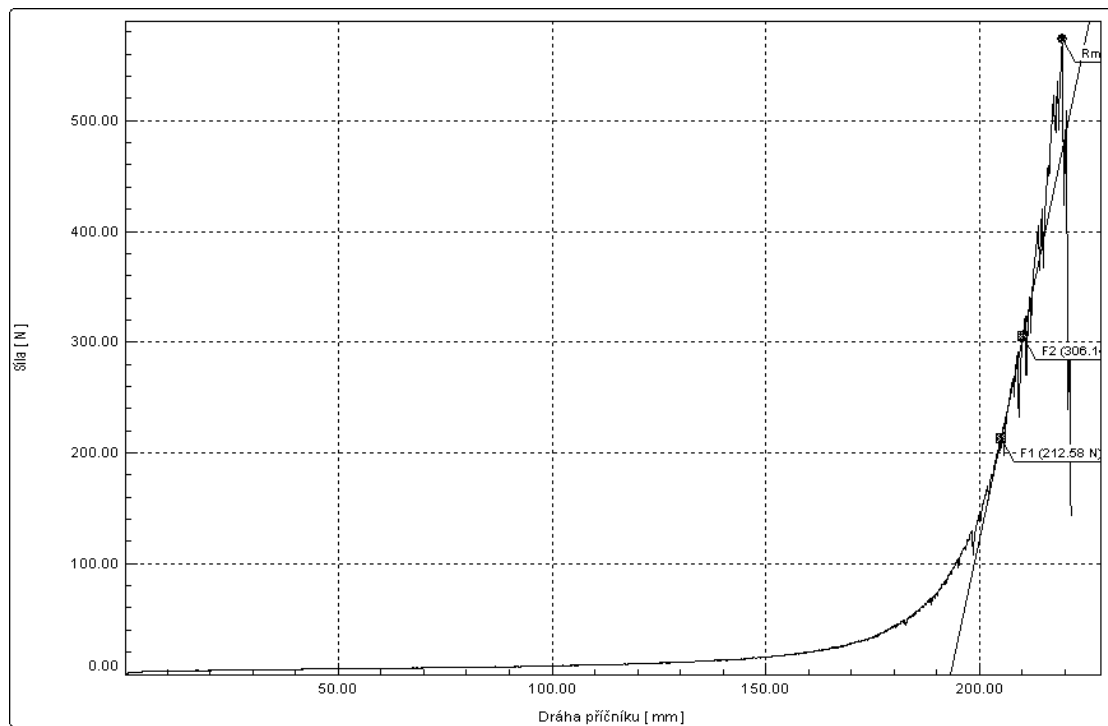
Obr. B20 Tahová křivka čedičové pleteniny vzorek č. 6.



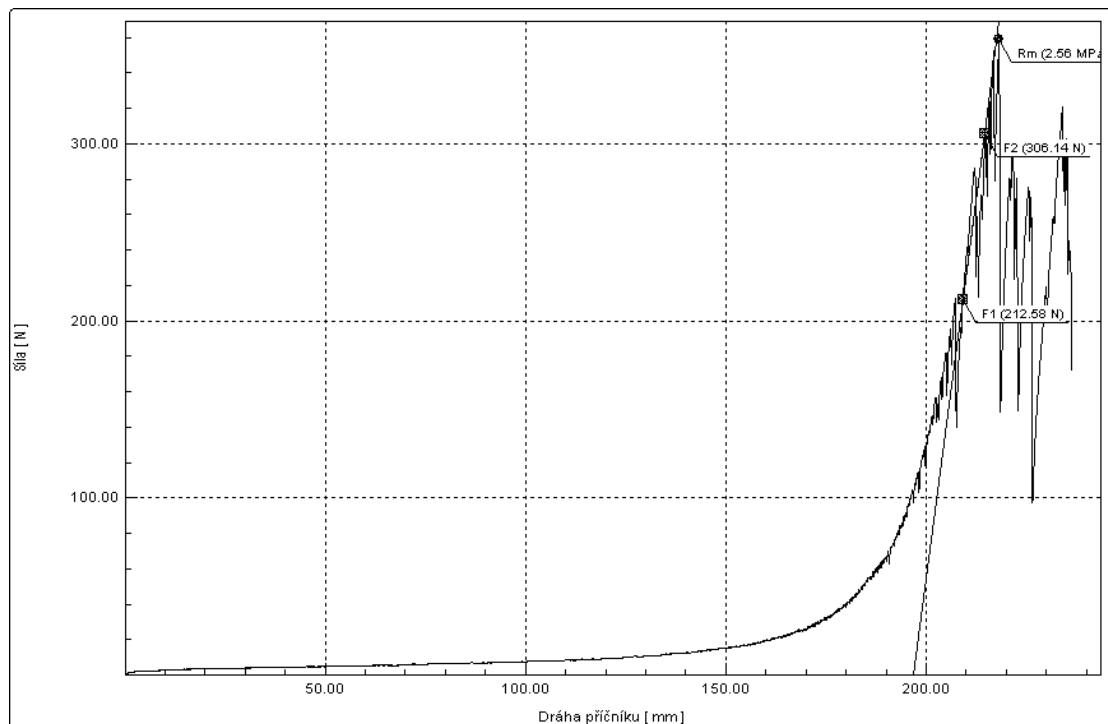
Obr. B21 Tahová křivka čedičové pleteniny vzorek č. 7.



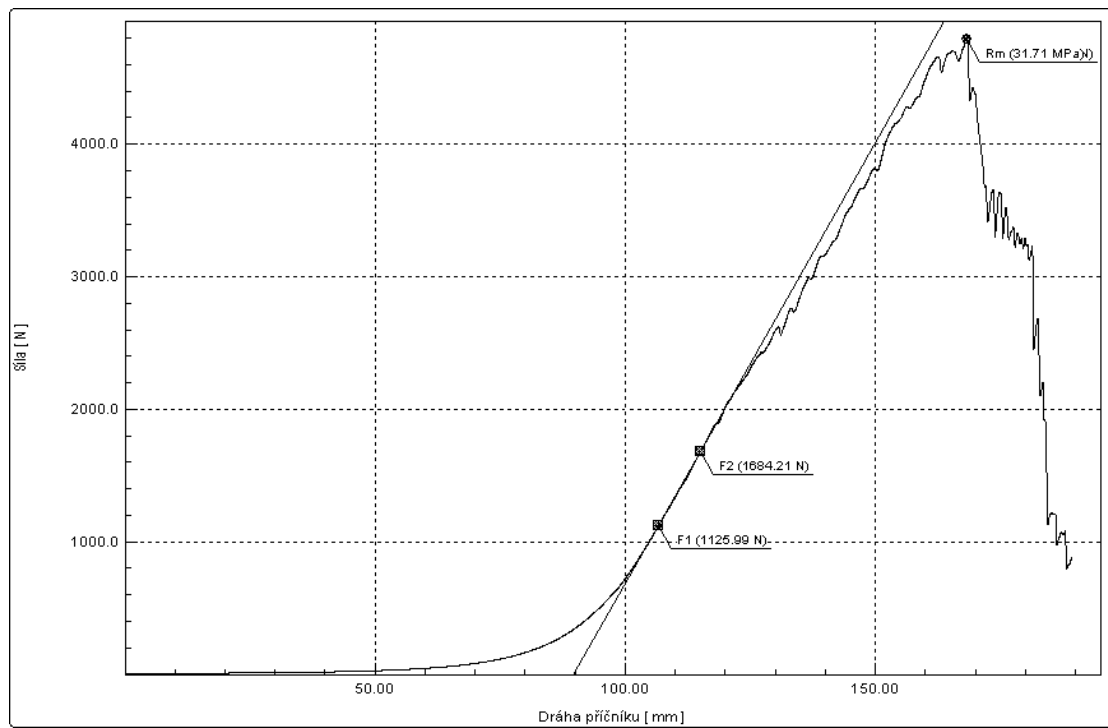
Obr. B22 Tahová křivka čedičové pleteniny vzorek č. 8.



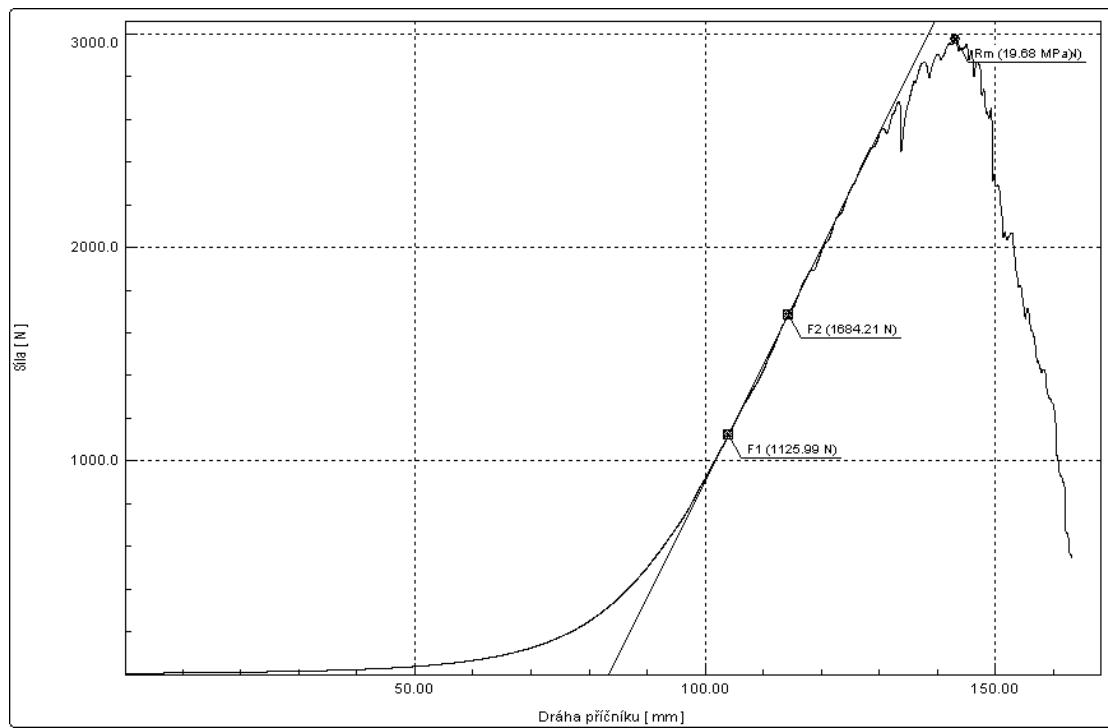
Obr. B23 Tahová křivka čedičové pleteniny vzorek č. 9.



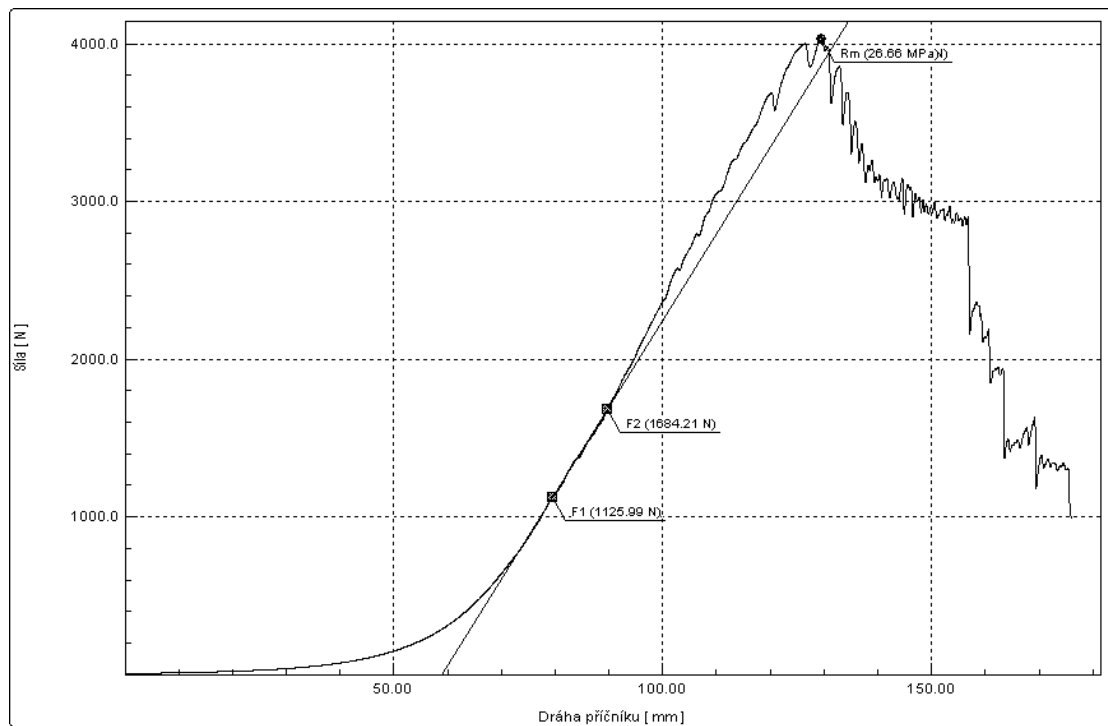
Obr. B24 Tahová křivka čedičové pleteniny vzorek č. 10.



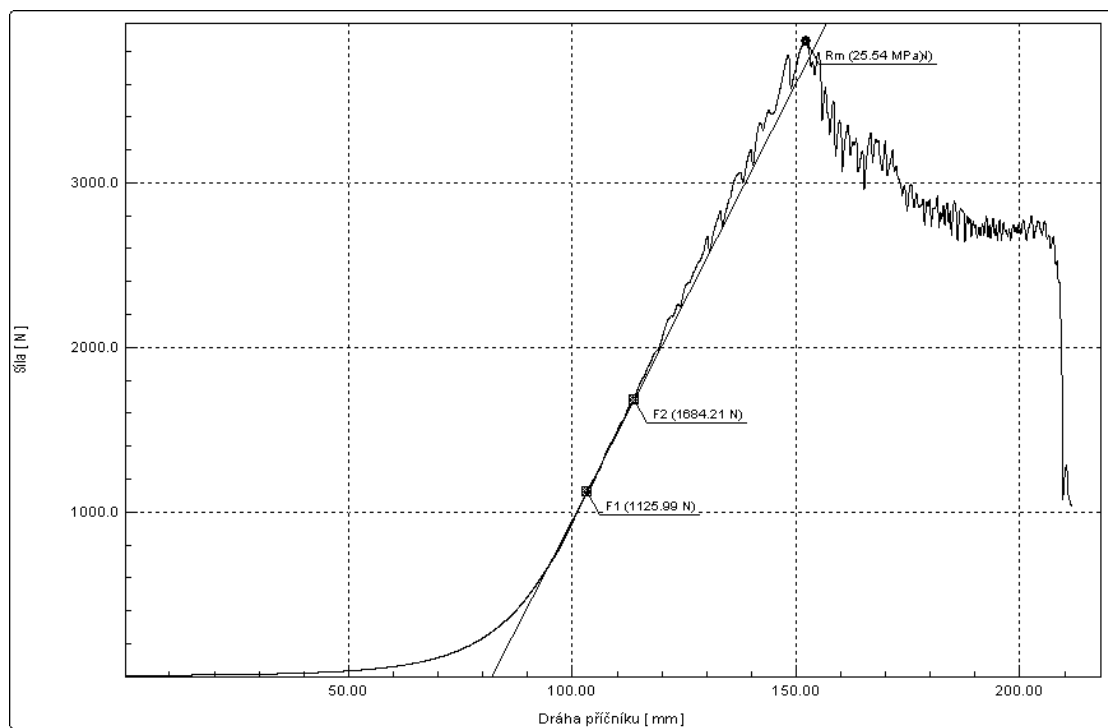
Obr. B25 Tahová křivka čedičokevlarové pleteniny vzorek č. 1.



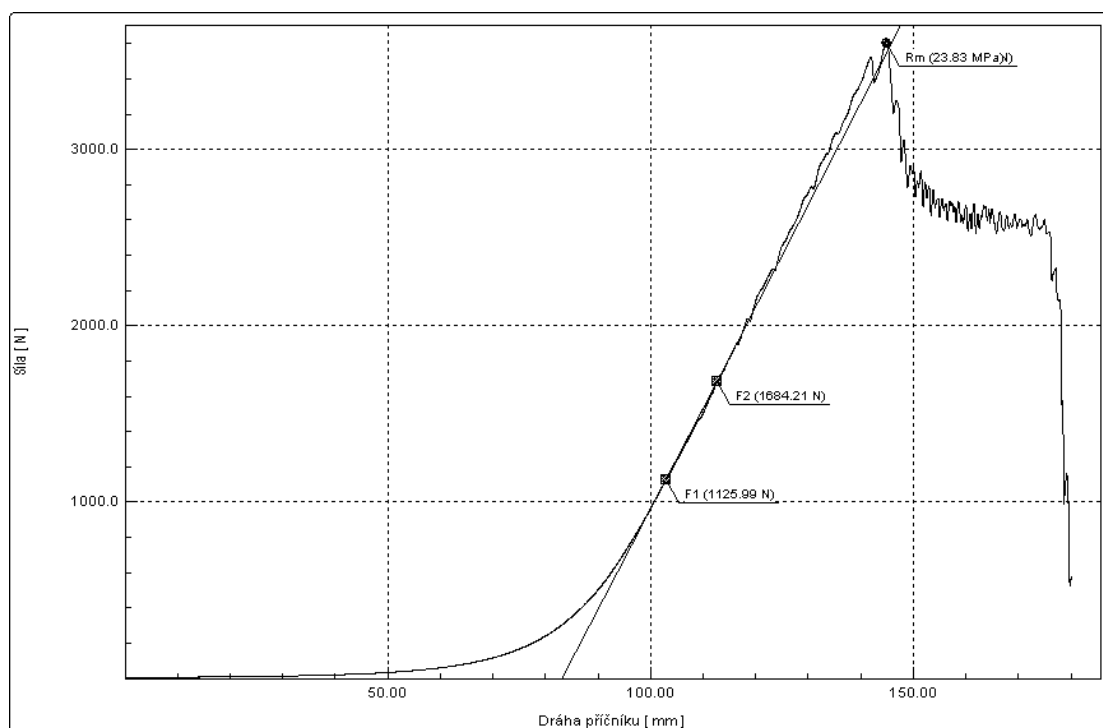
Obr. B26 Tahová křivka čedičokevlarové pleteniny vzorek č. 2.



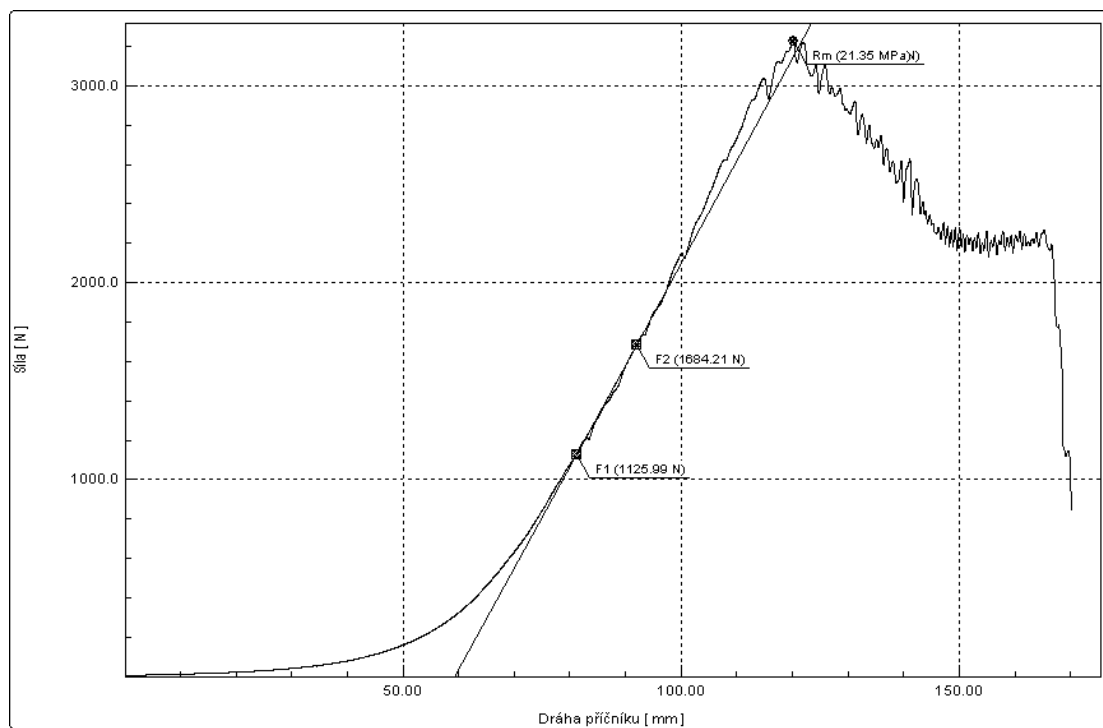
Obr. B27 Tahová křivka čedičo kevlarové pleteniny vzorek č. 3.



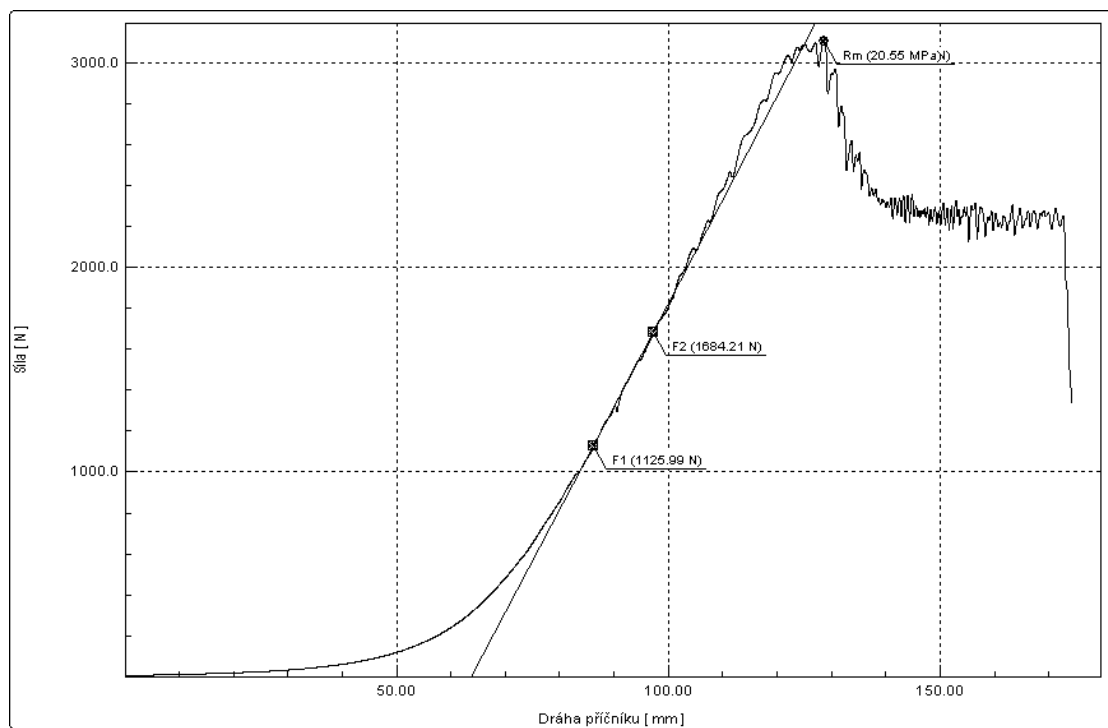
Obr. B28 Tahová křivka čedičo kevlarové pleteniny vzorek č. 4.



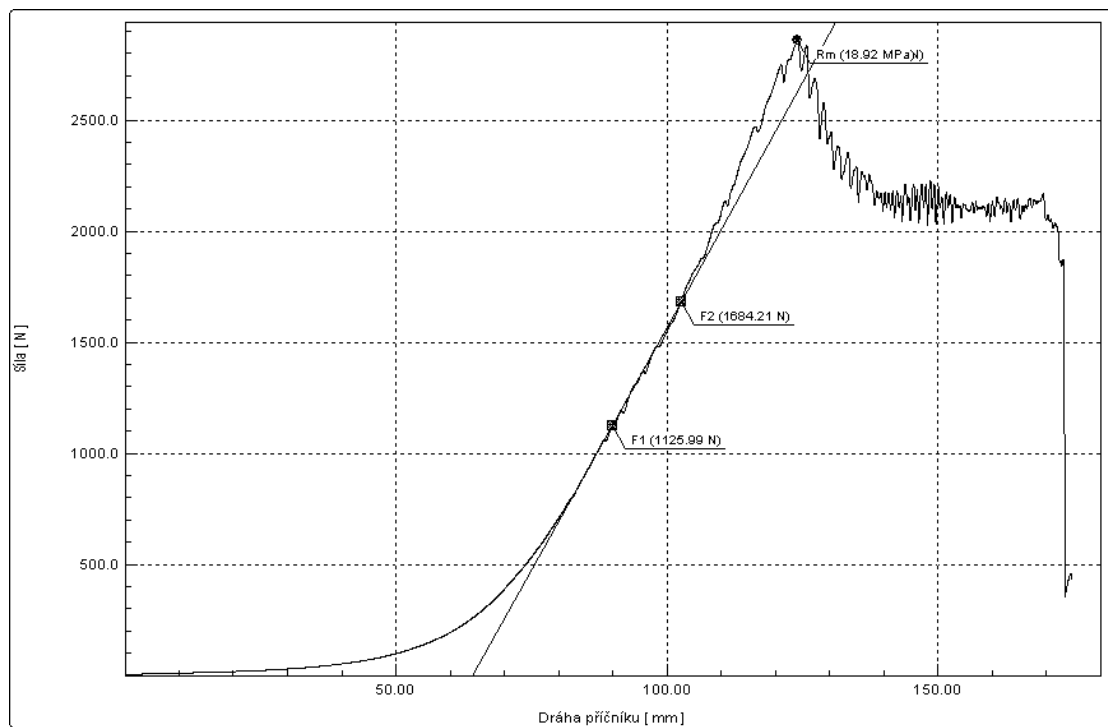
Obr. B29 Tahová křivka čedičokevlarové pleteniny vzorek č. 5.



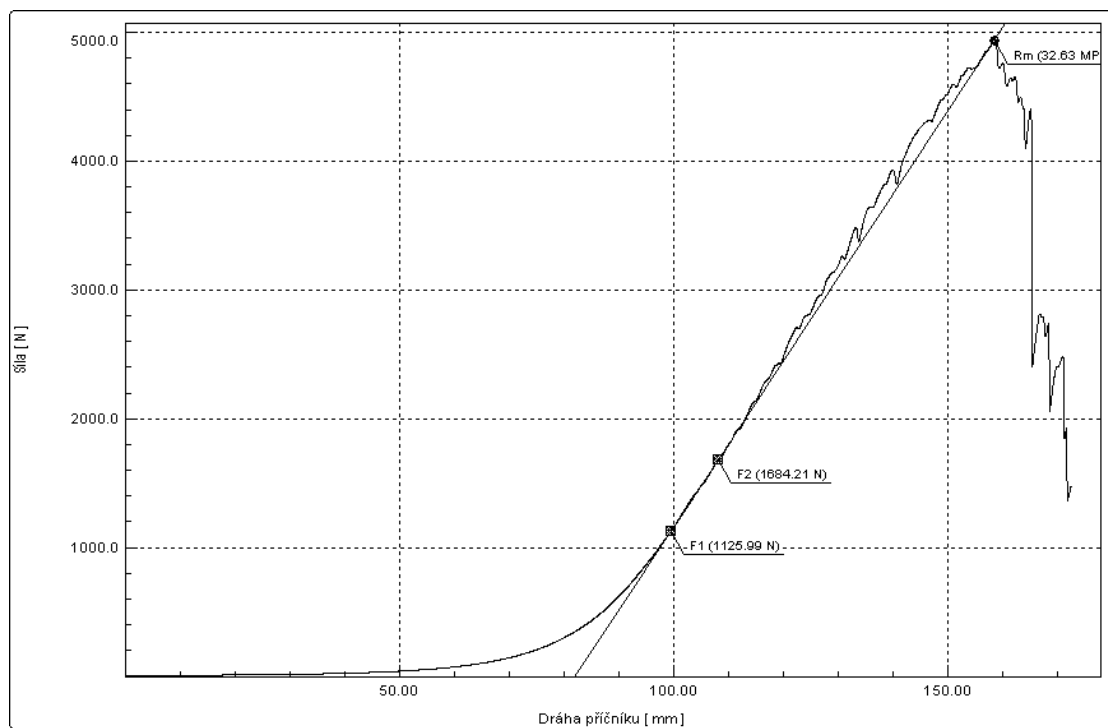
Obr. B30 Tahová křivka čedičokevlarové pleteniny vzorek č. 6.



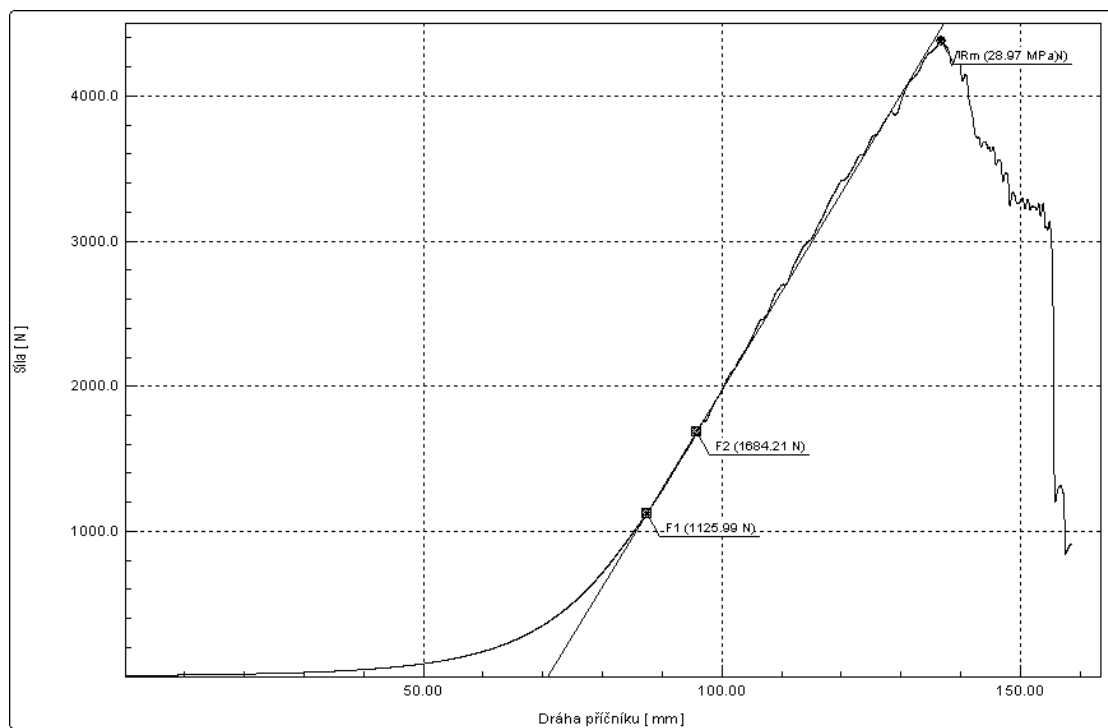
Obr. B31 Tahová křivka čedičo kevlarové pleteniny vzorek č. 7.



Obr. B32 Tahová křivka čedičo kevlarové pleteniny vzorek č. 8.



Obr. B33 Tahová křivka čedičokevlarové pleteniny vzorek č. 9.



Obr. B34 Tahová křivka čedičokevlarové pleteniny vzorek č. 10.